

Bildgebung bzw. Bilder für die Kenntnisprüfung in Niedersachsen 2024/2025

Dieses Dokument umfasst Röntgenbilder, CT-Bilder, Anatomische Strukturen und Klassifikationen.

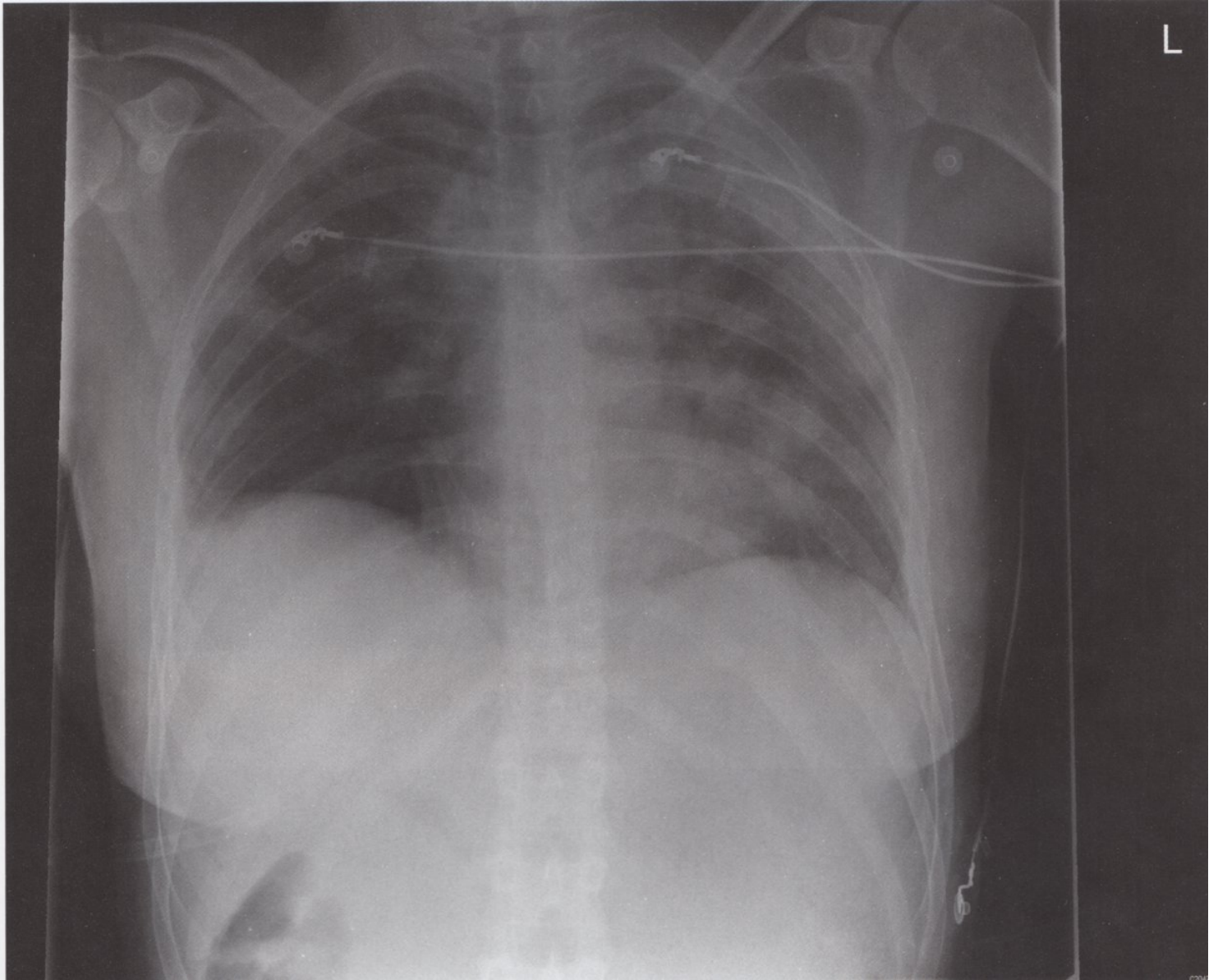
Dies ist eine Ergänzung zum Dokument/ Protokollfragenkatalog "**Protokollfragen 2024/25**". Darin sind bereits konkrete Protokollfragen in Zusammenhang mit bildgebenden Verfahren zusammengetragen worden.

Dieses Dokument wurde am 12. Januar 2025 fertiggestellt.

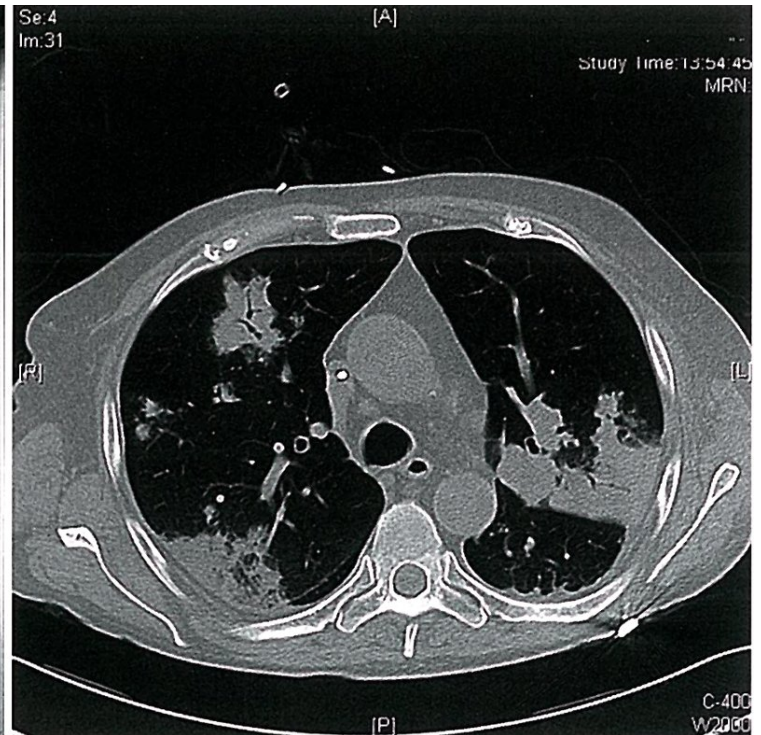
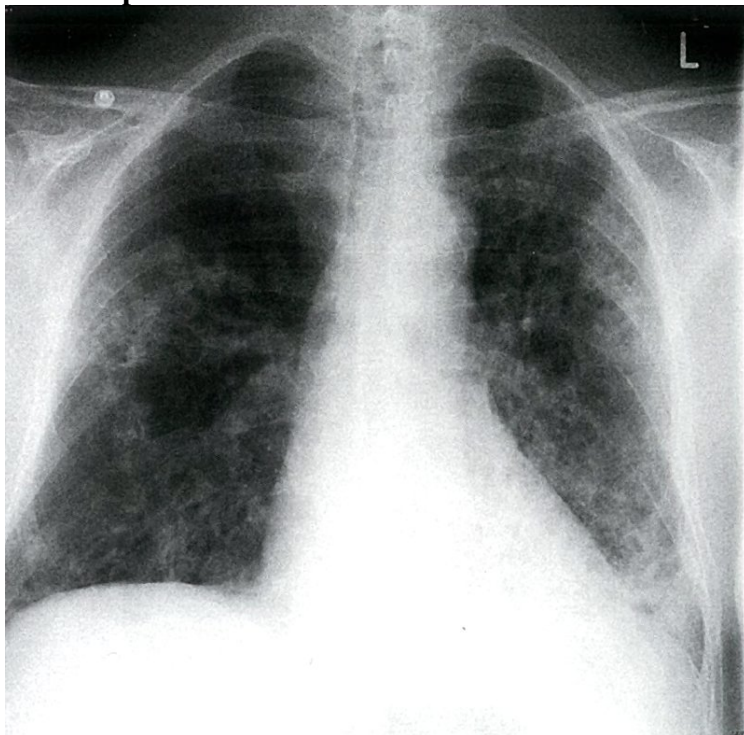
[illegible]

Röntgenbilder

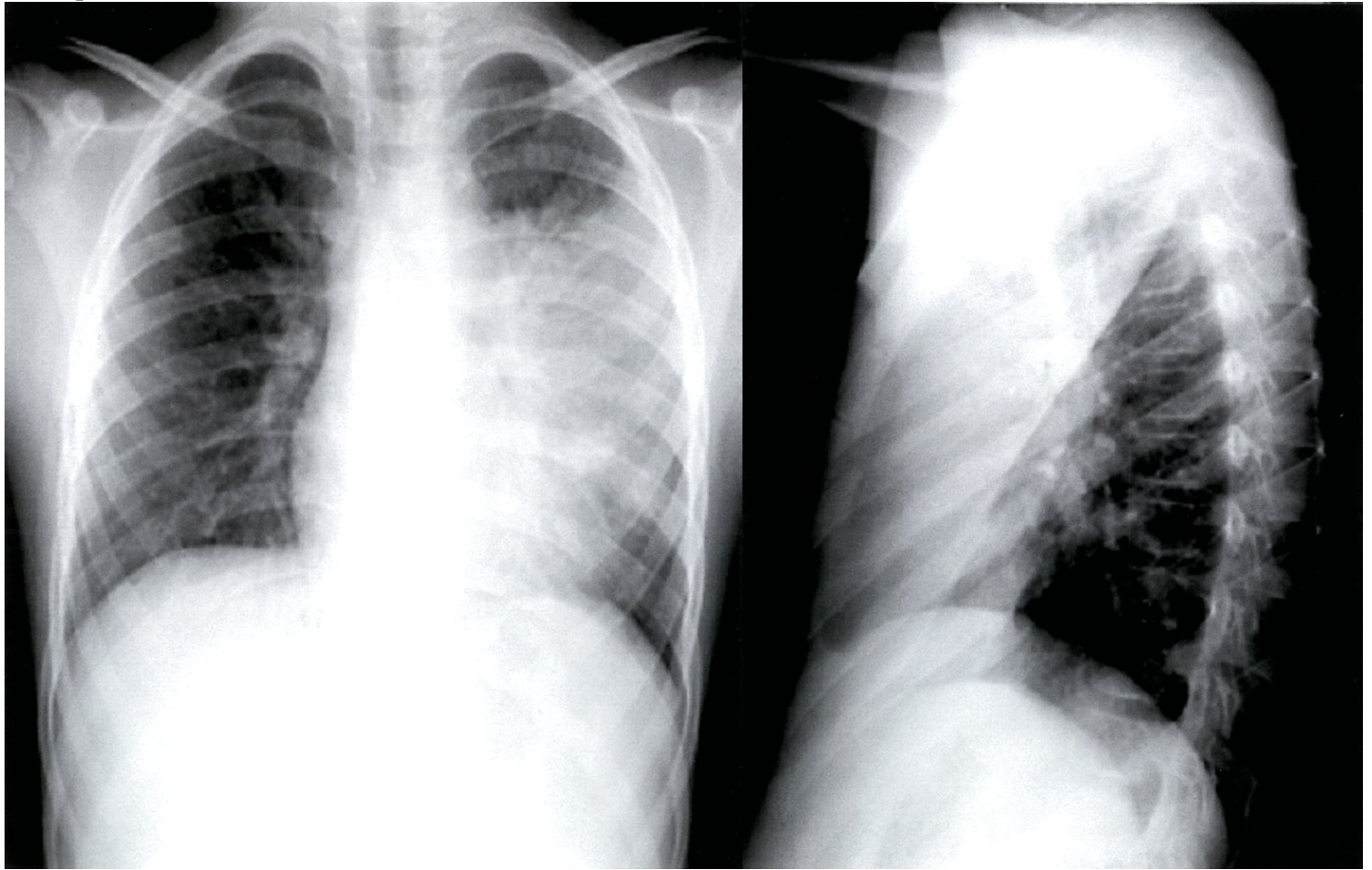
Bronchopneumonie



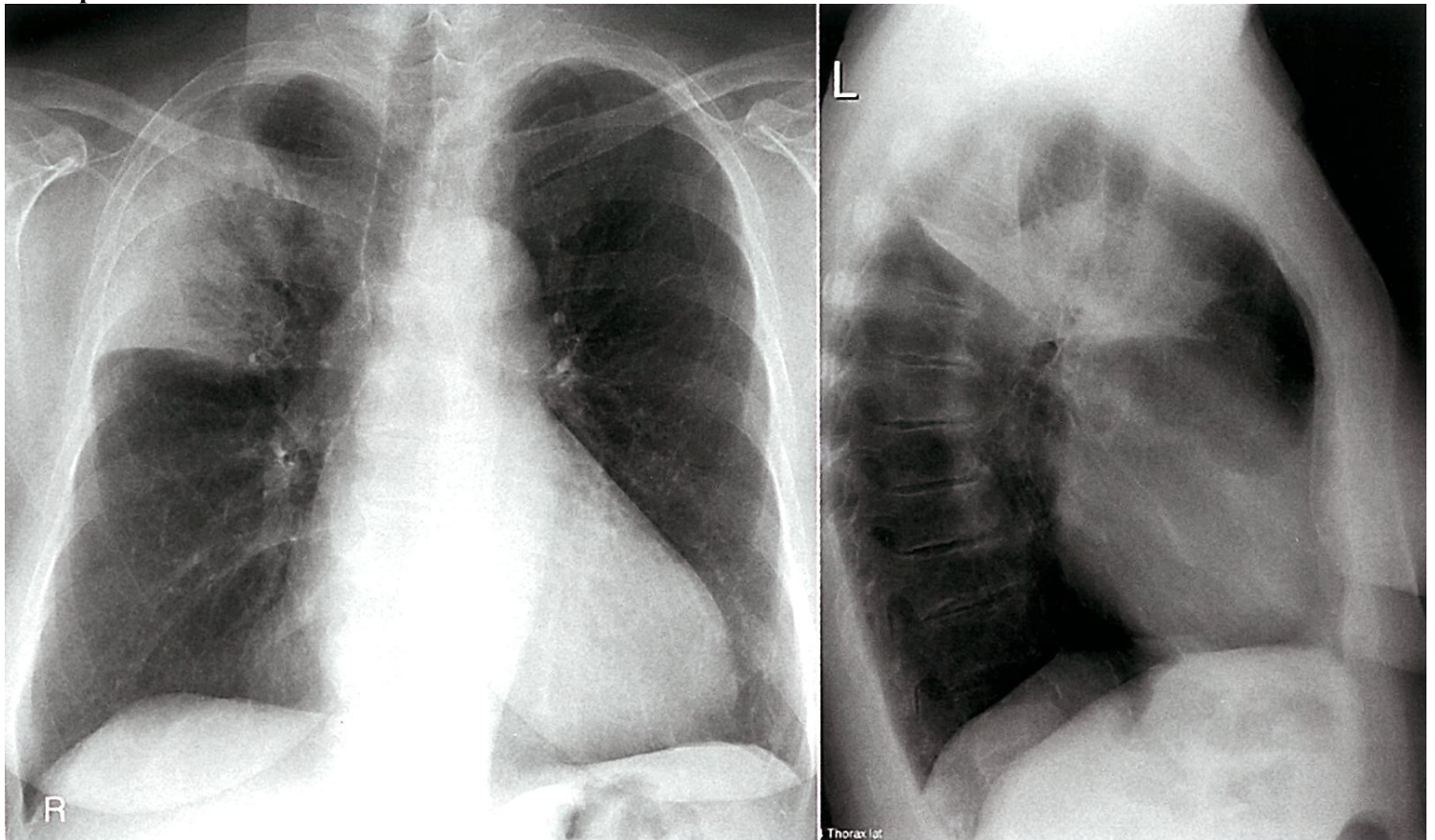
Bronchopneumonie



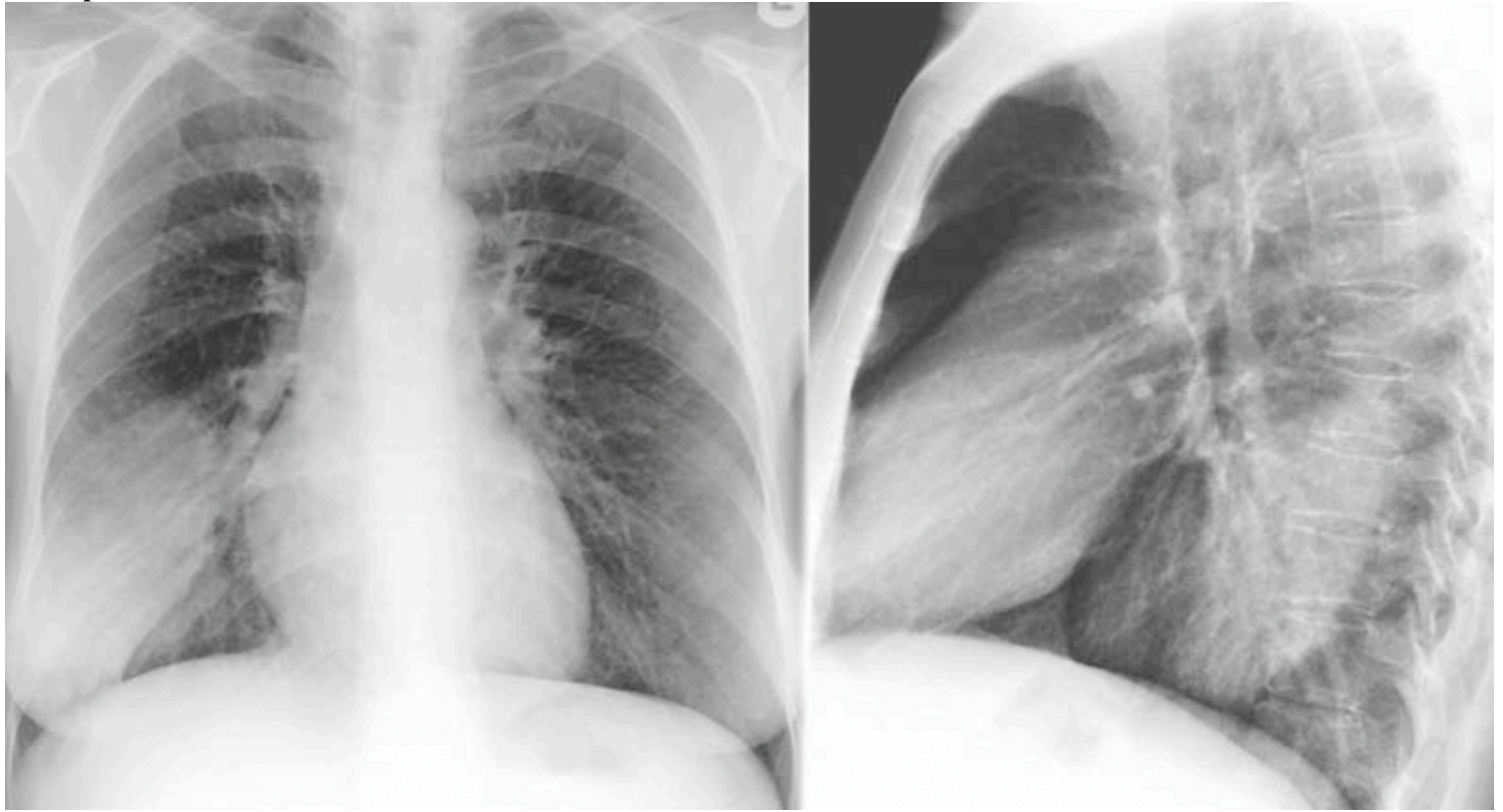
Lobärpneumonie



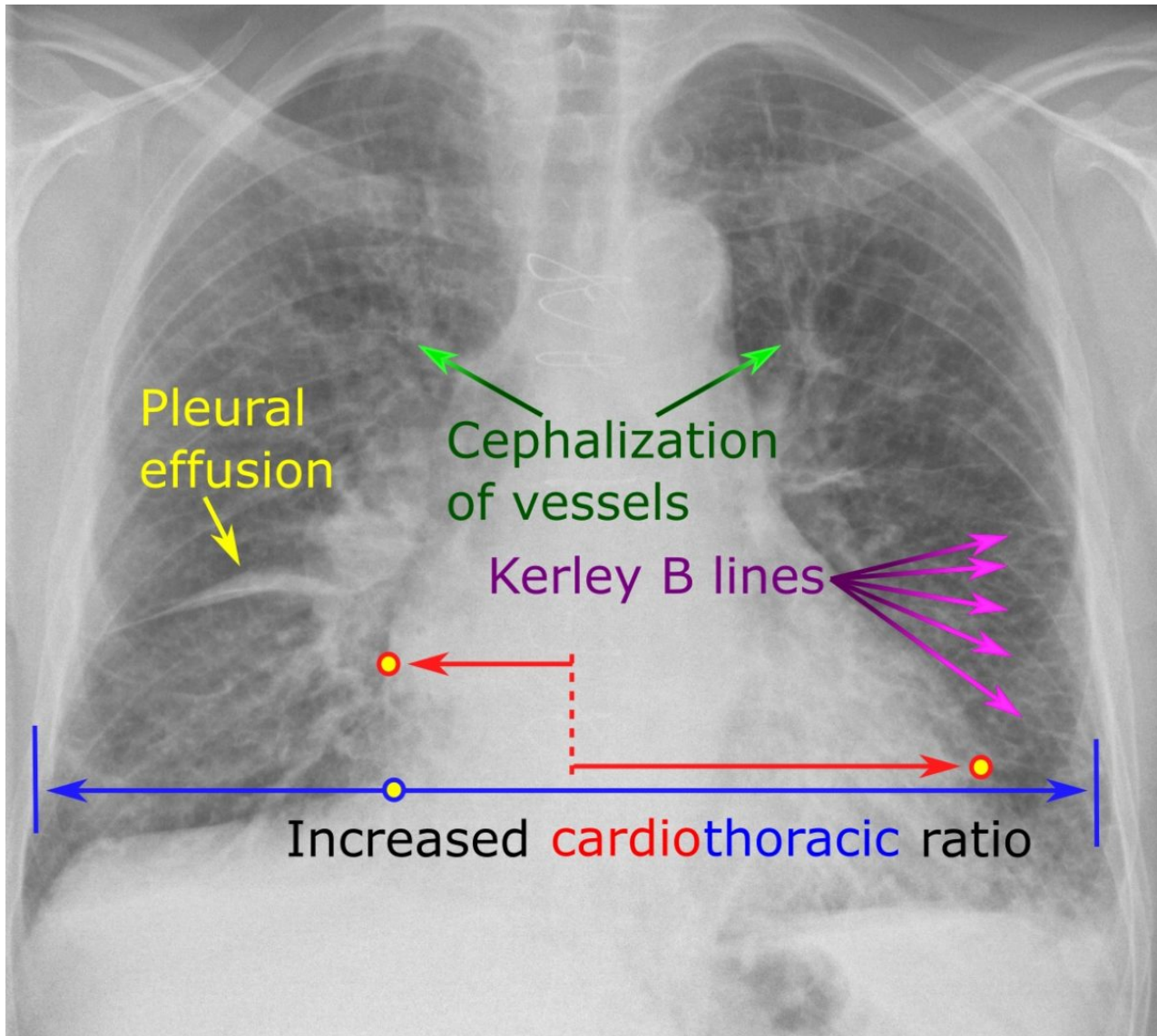
Lobärpneumonie



Lobärpneumonie



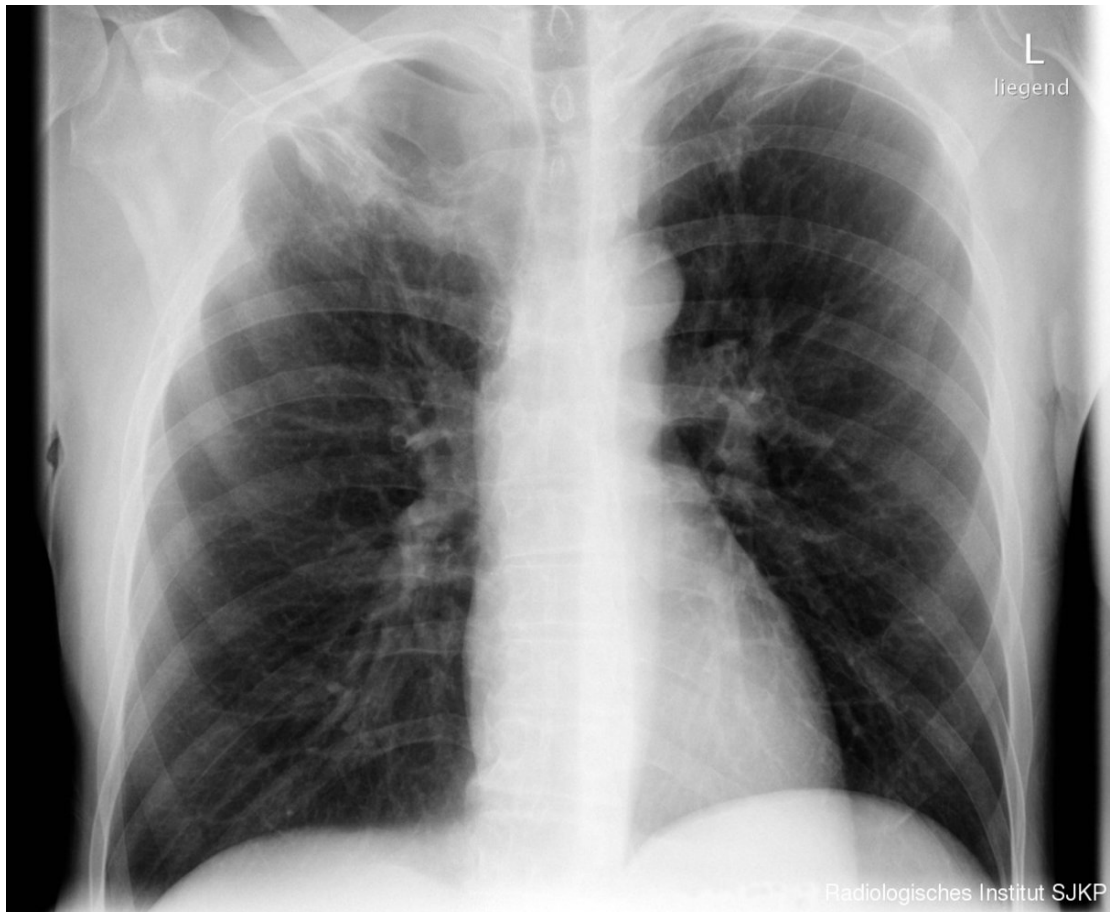
Herzinsuffizienz



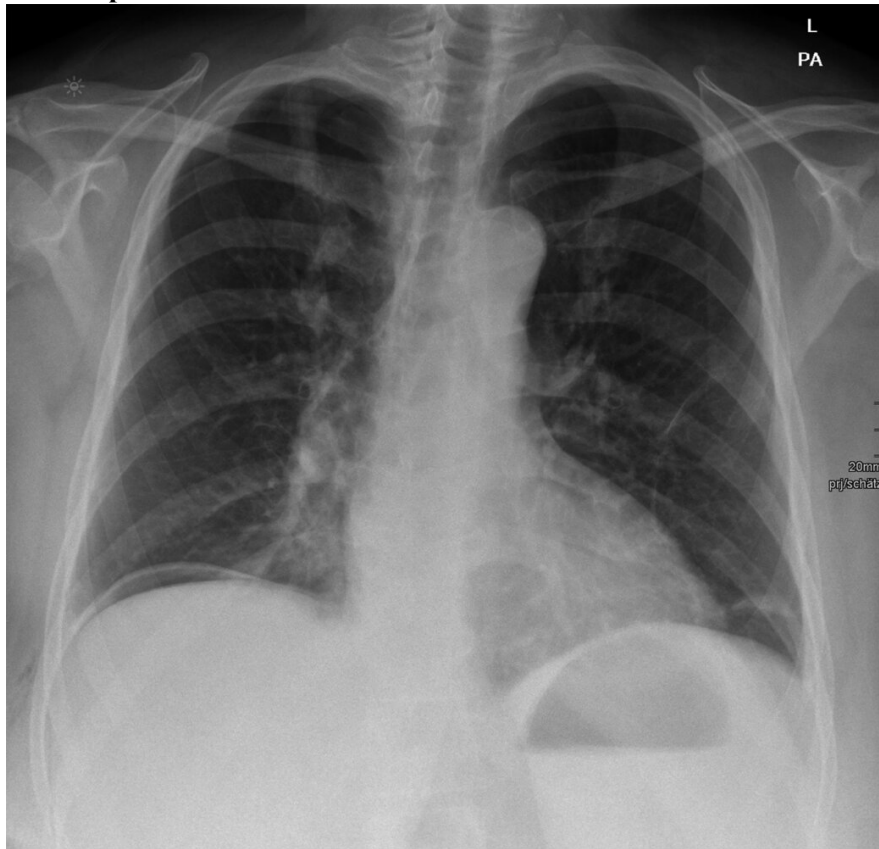
Lungenemphysem



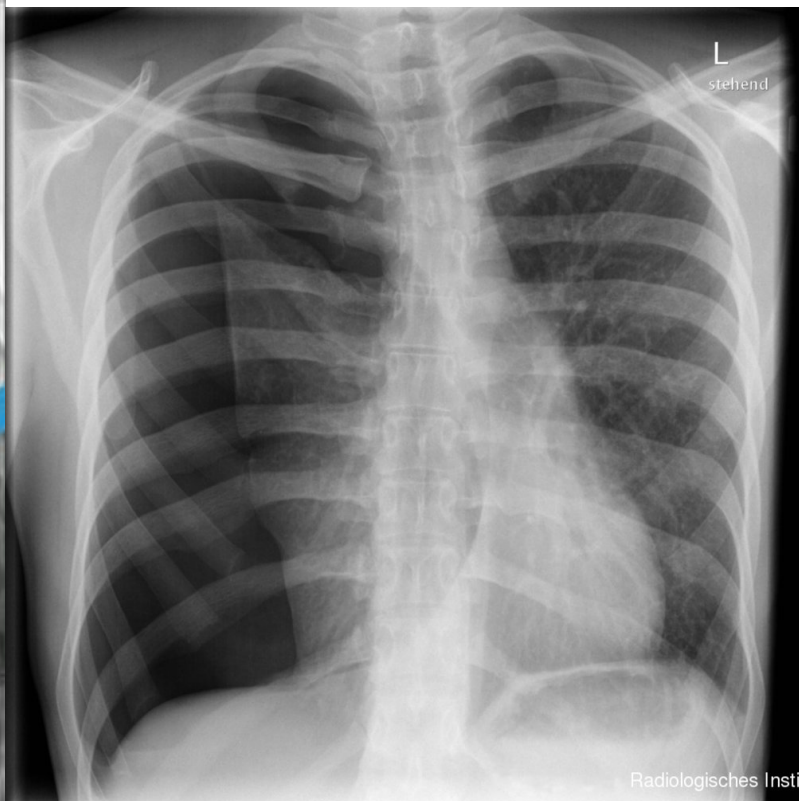
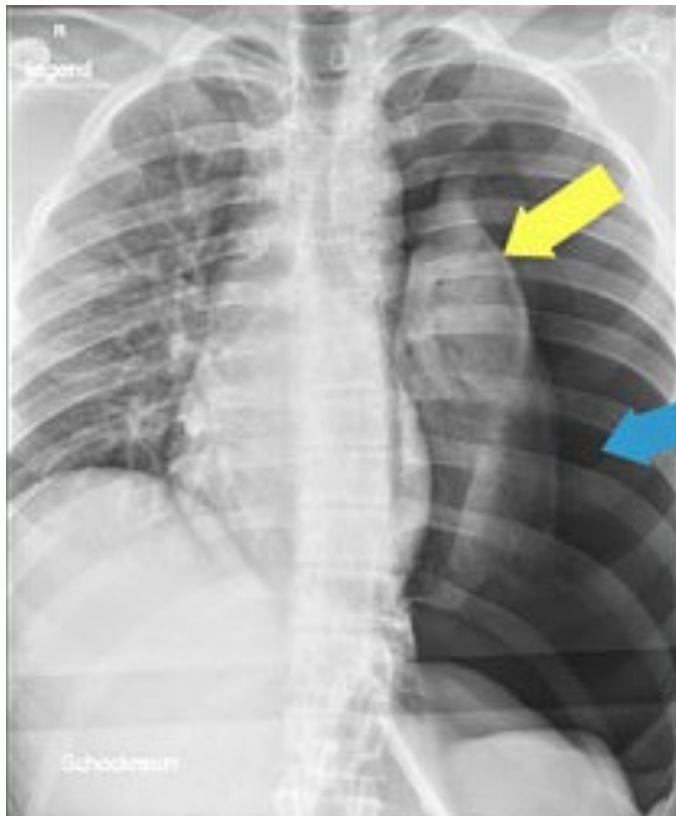
Pancoast Tumor



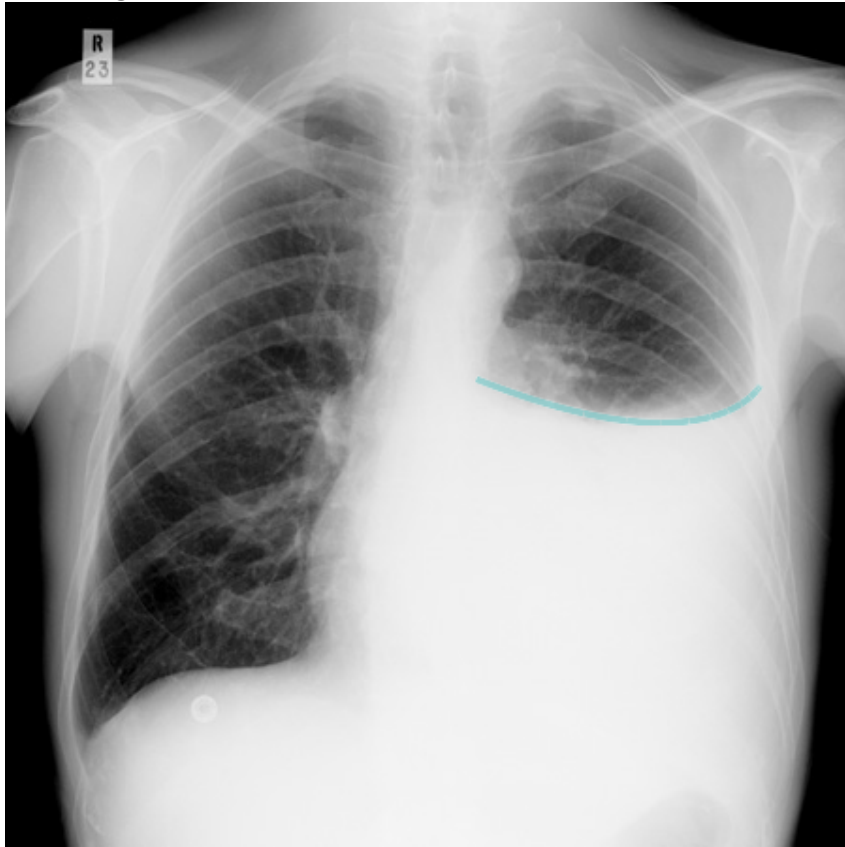
Pneumoperitoneum



Pneumothorax



Pleuraerguss



Tuberkulose

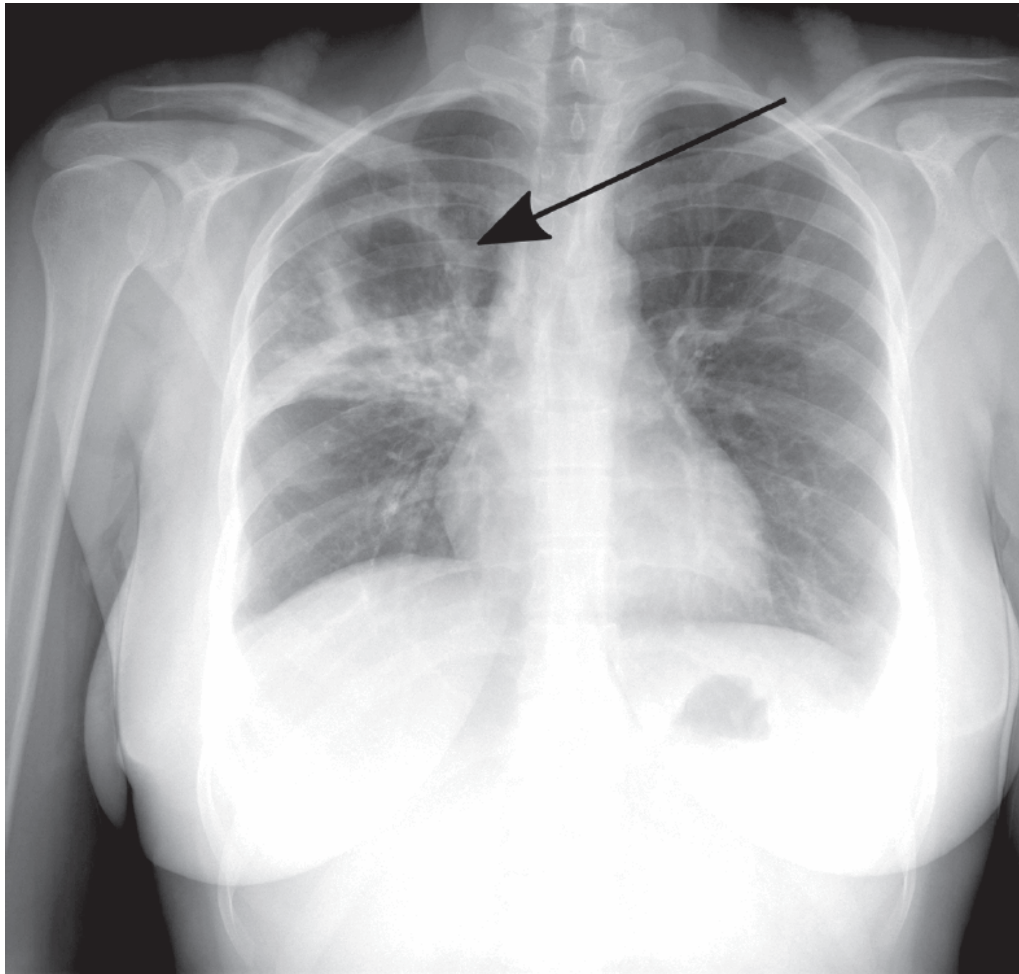
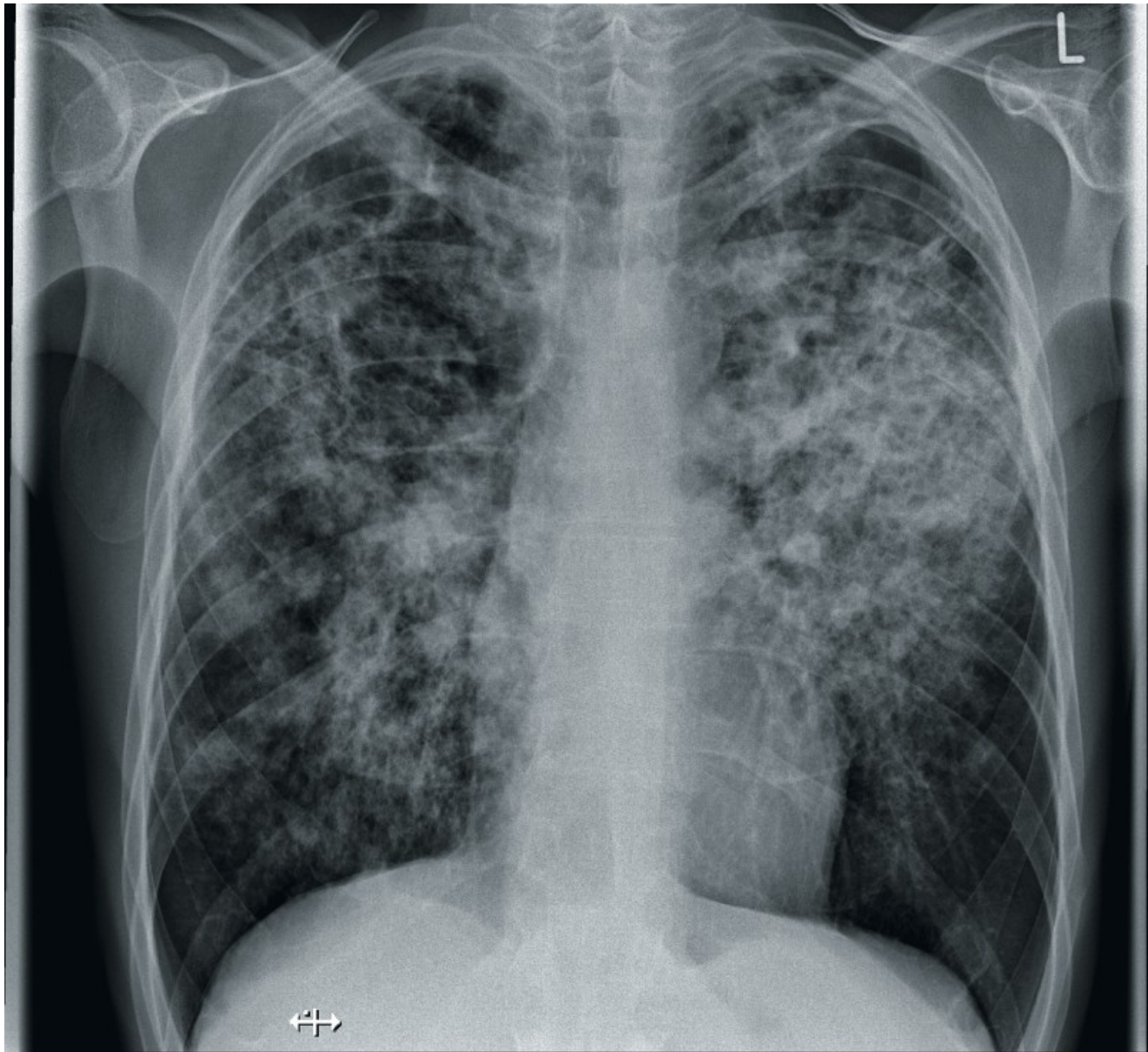
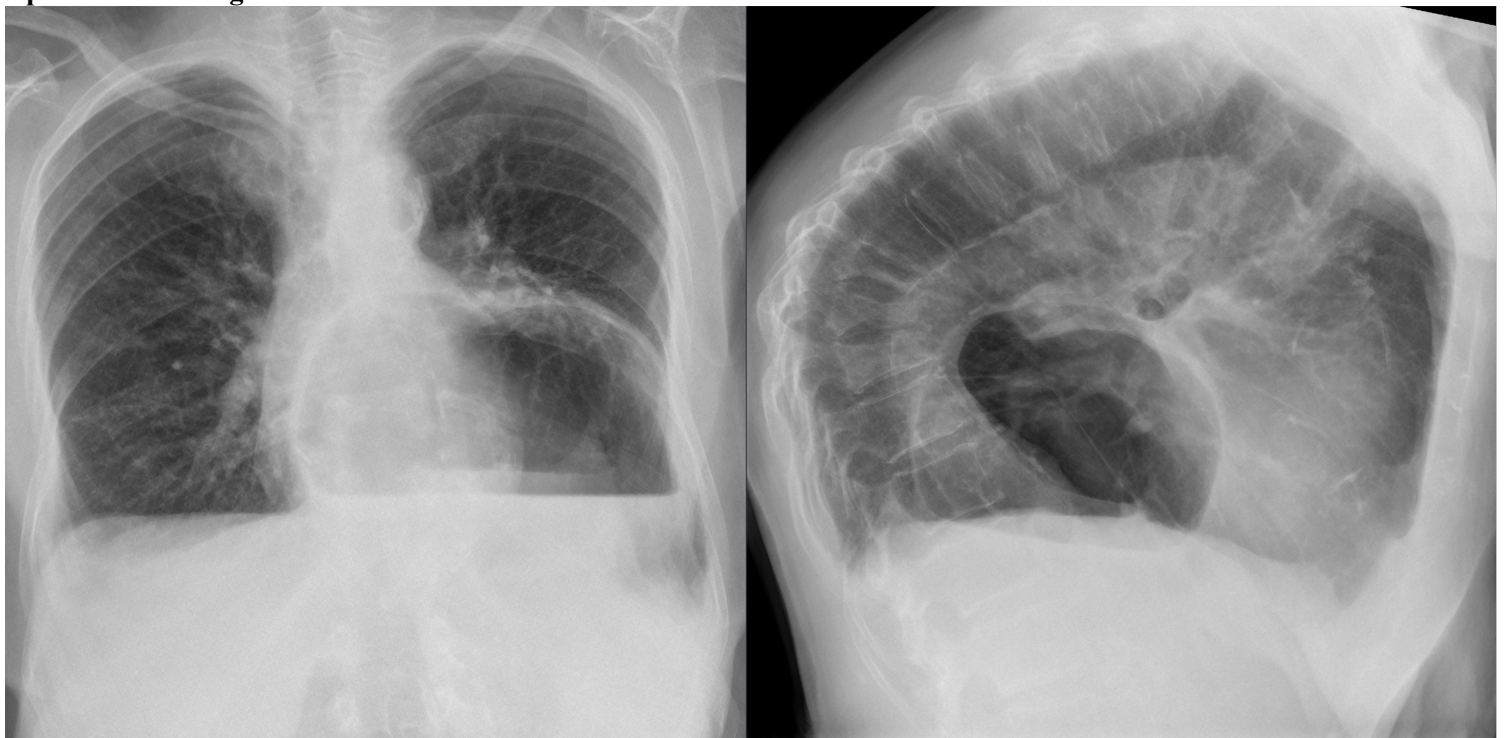


Abbildung 1: Lungentuberkulose mit großer Kaverne (Pfeil) im rechten Lungenoberfeld (Röntgenaufnahme des Thorax, posterior-anterior-Projektion).

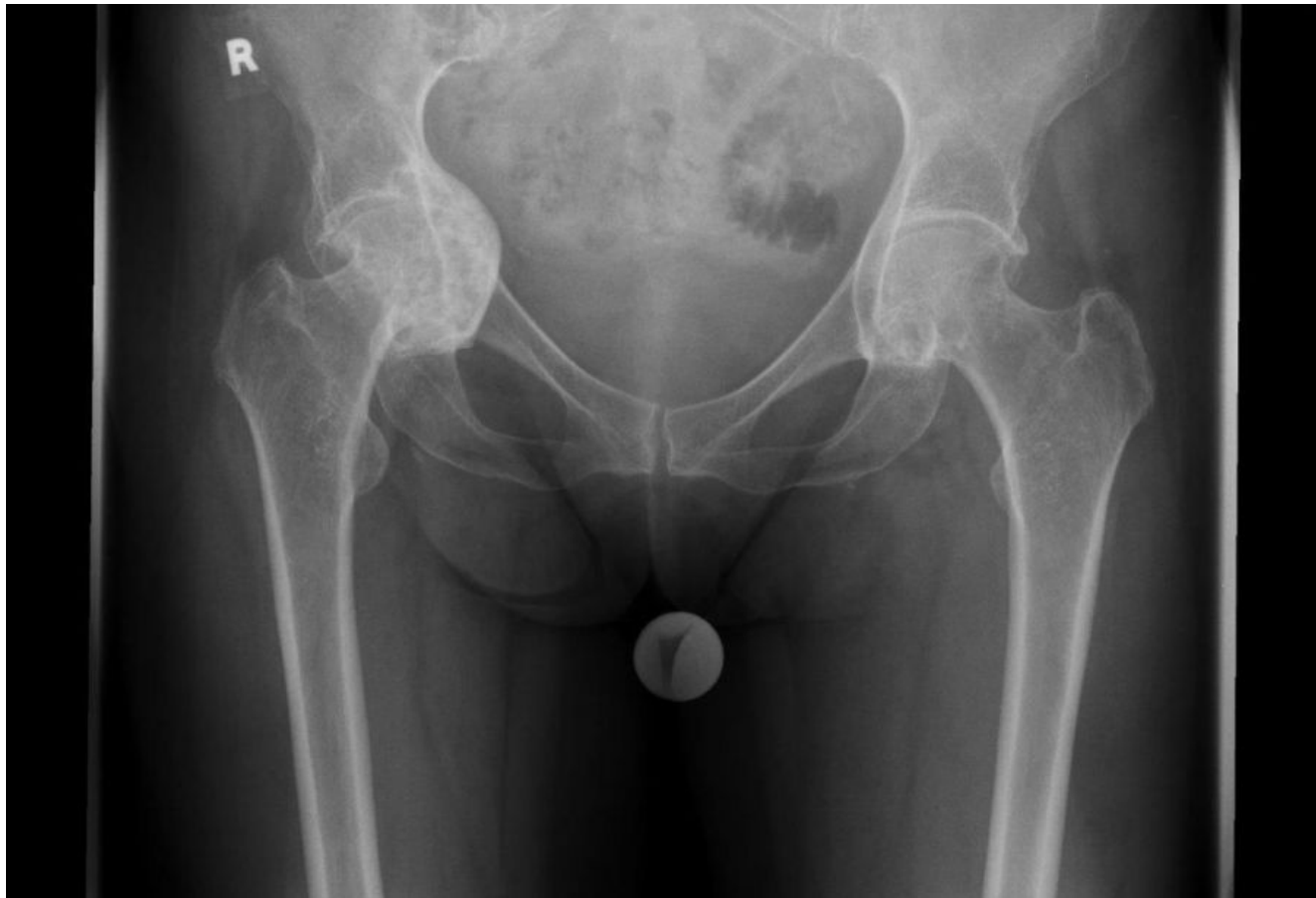
Tuberkulose



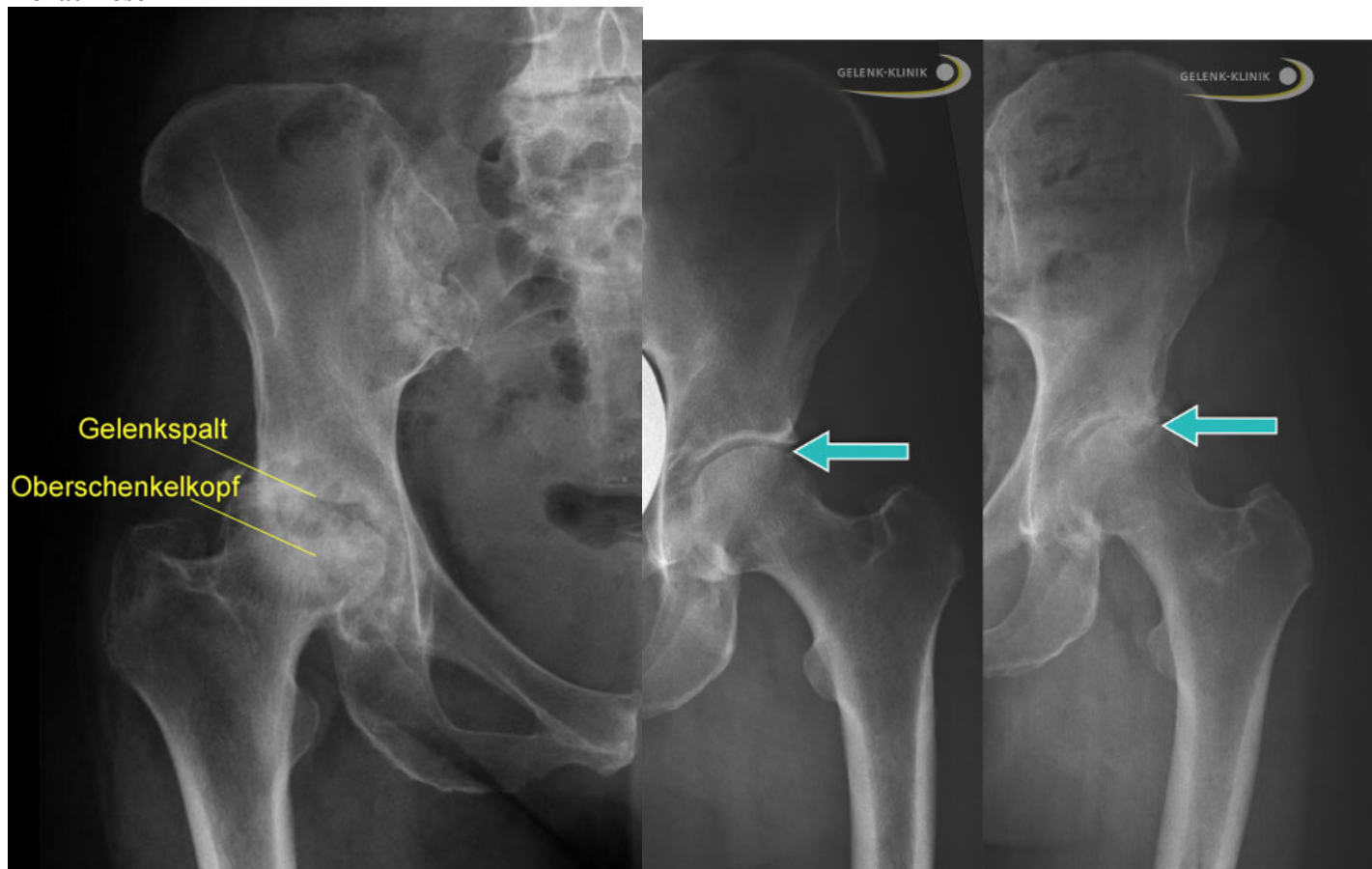
Up-side-down Magen



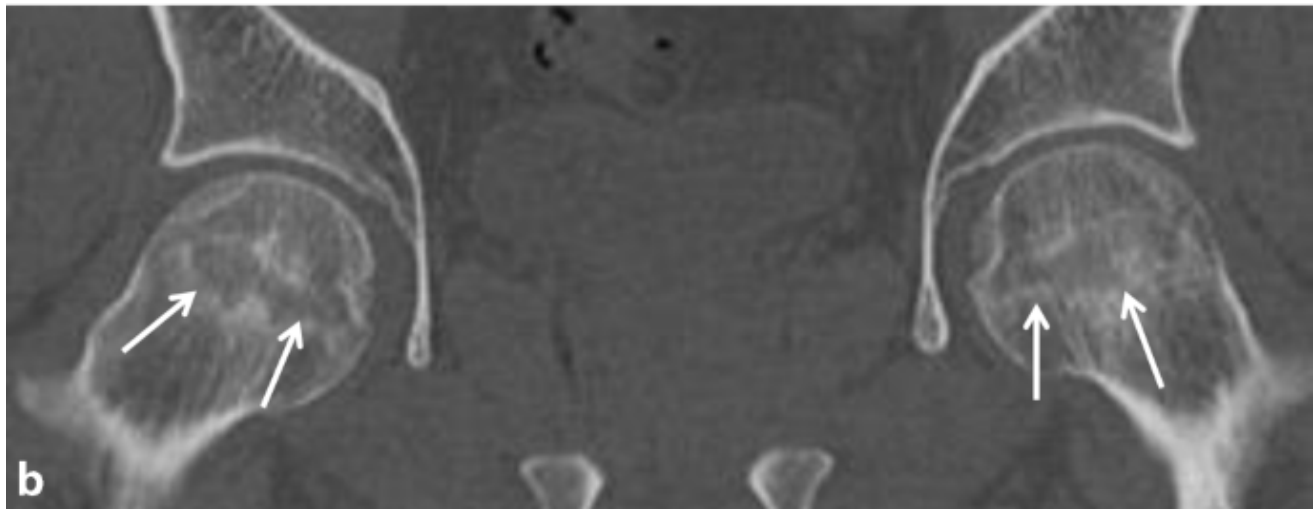
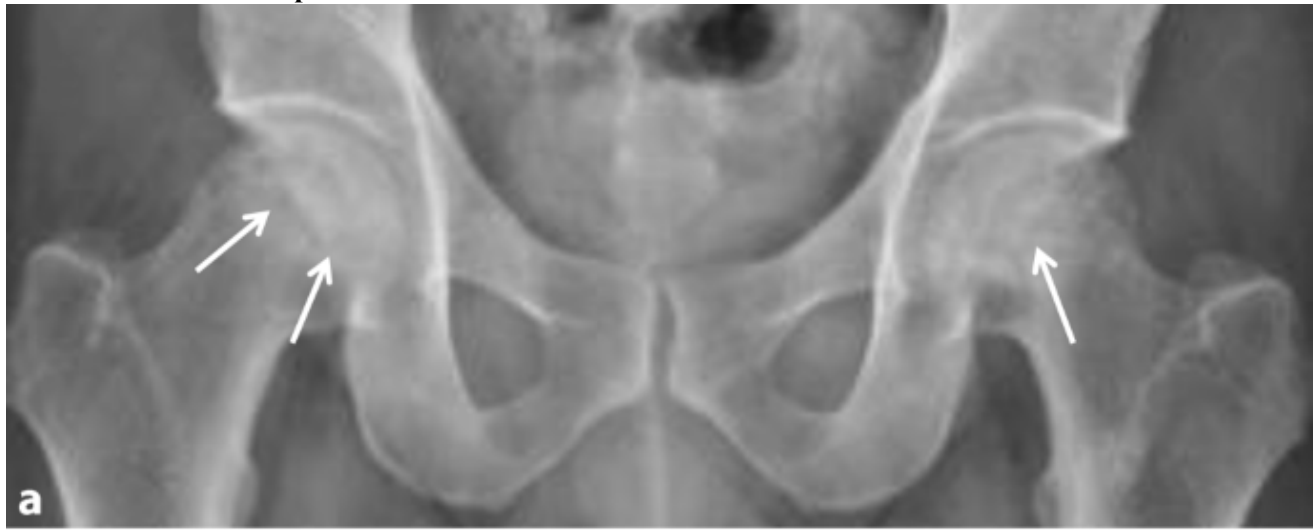
Koxathrose



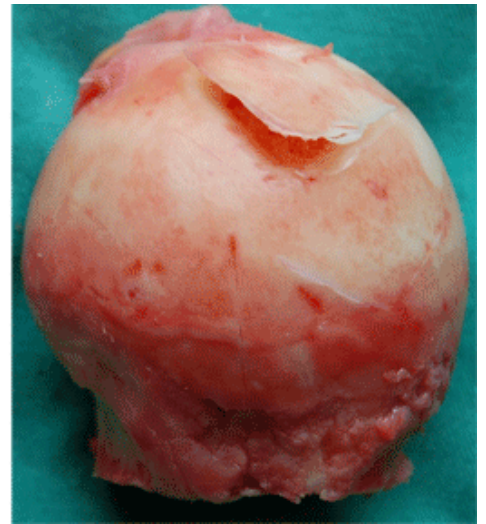
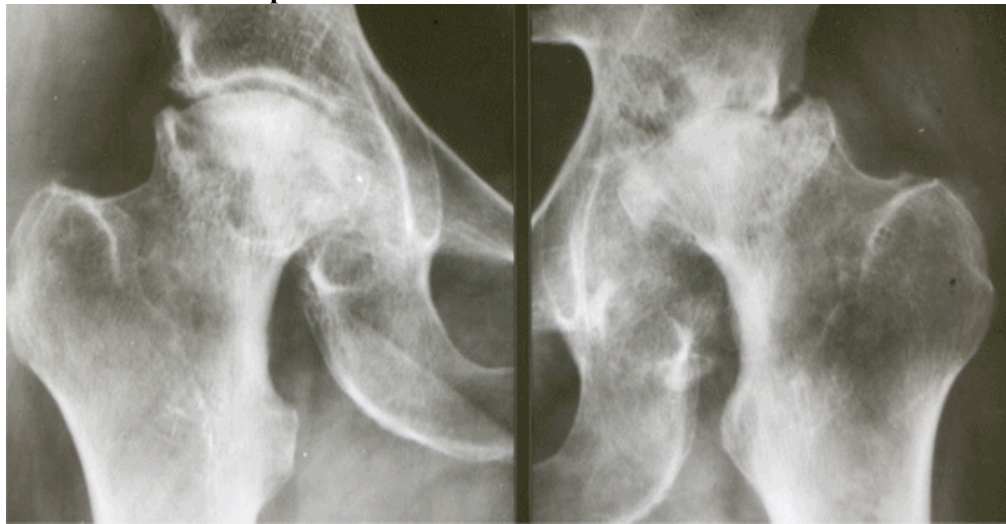
Koxathrose



Atraumatische und aseptische Osteonekrose



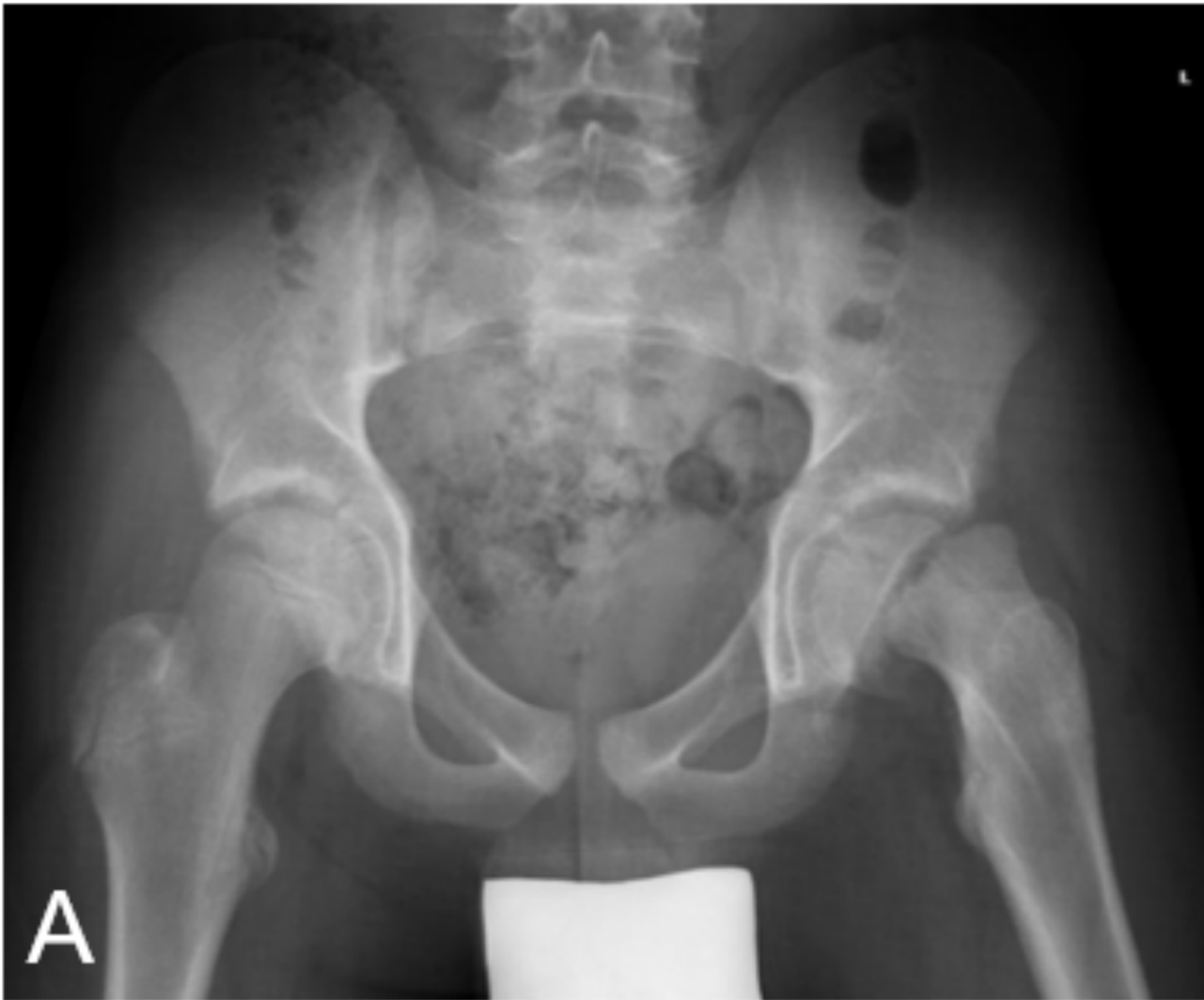
Avaskuläre Femurkopfnekrose

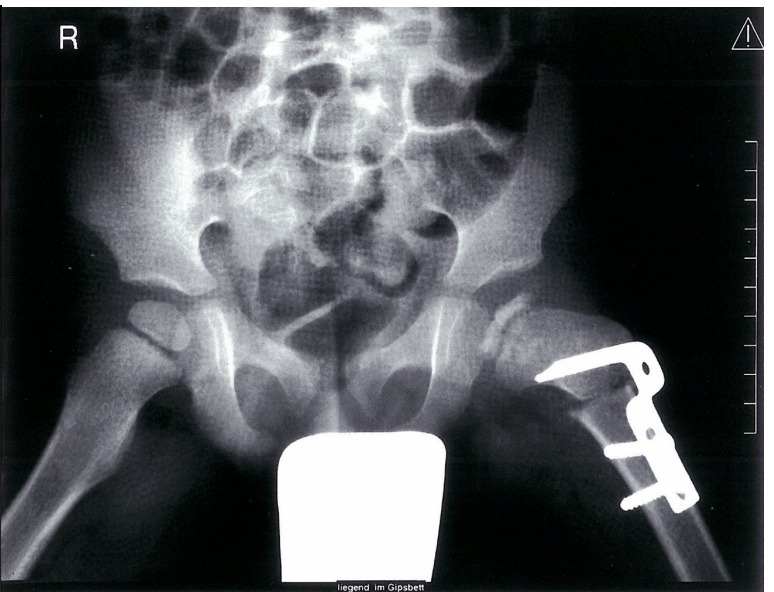


Epiphyseolysis capitis femoris



Epiphyseolysis capitis femoris





Lauenstein-Aufnahme



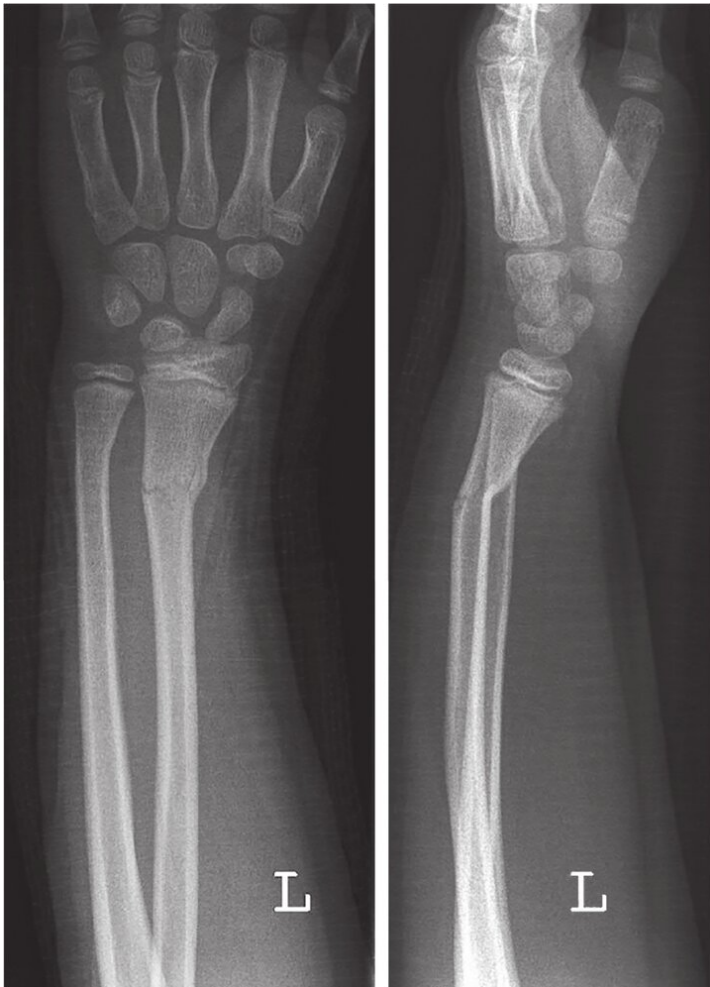
ERCP



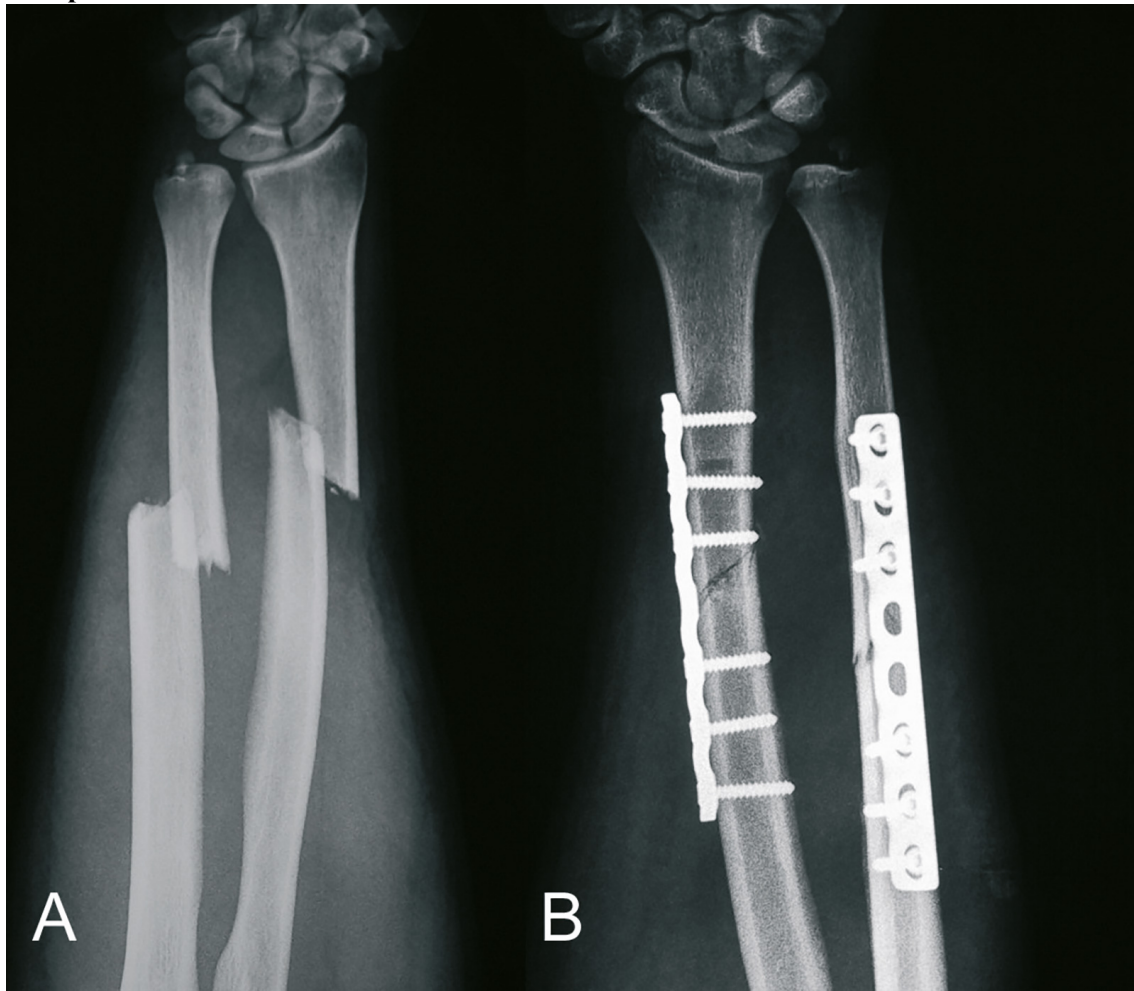
Galeazzi-Fraktur



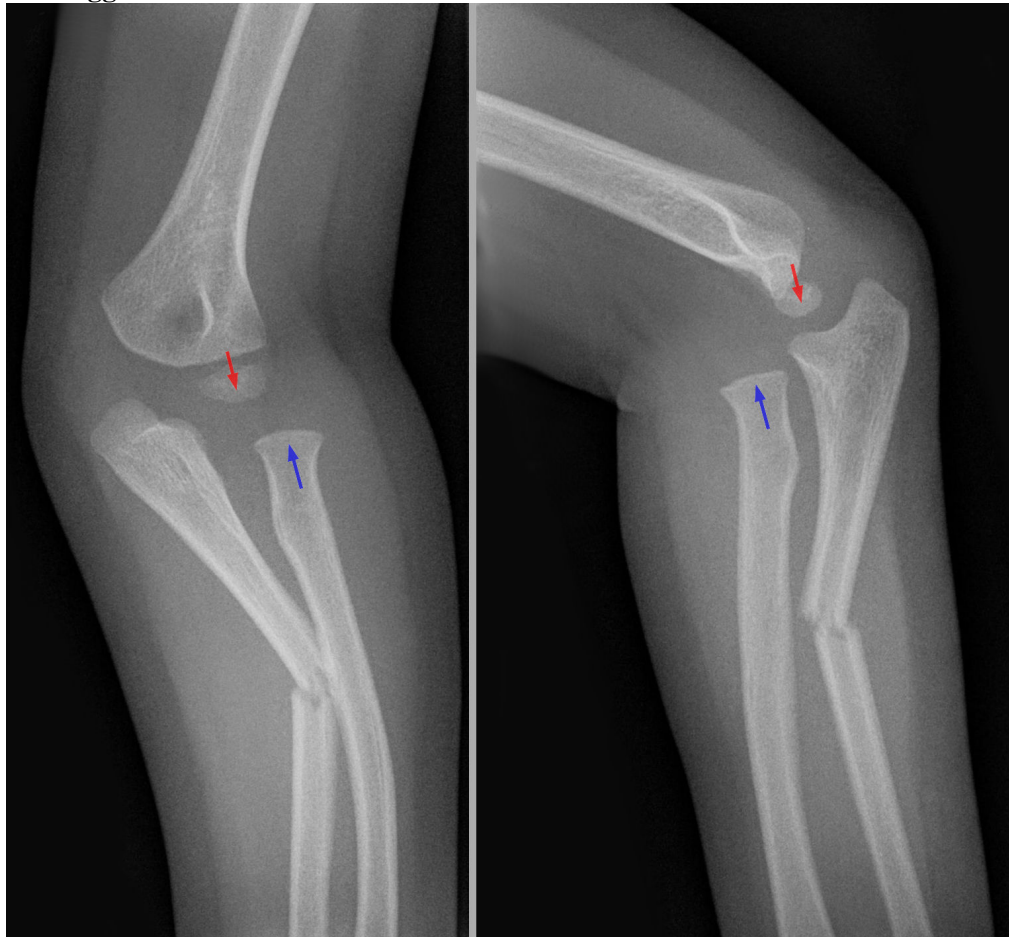
Grünholzfraktur



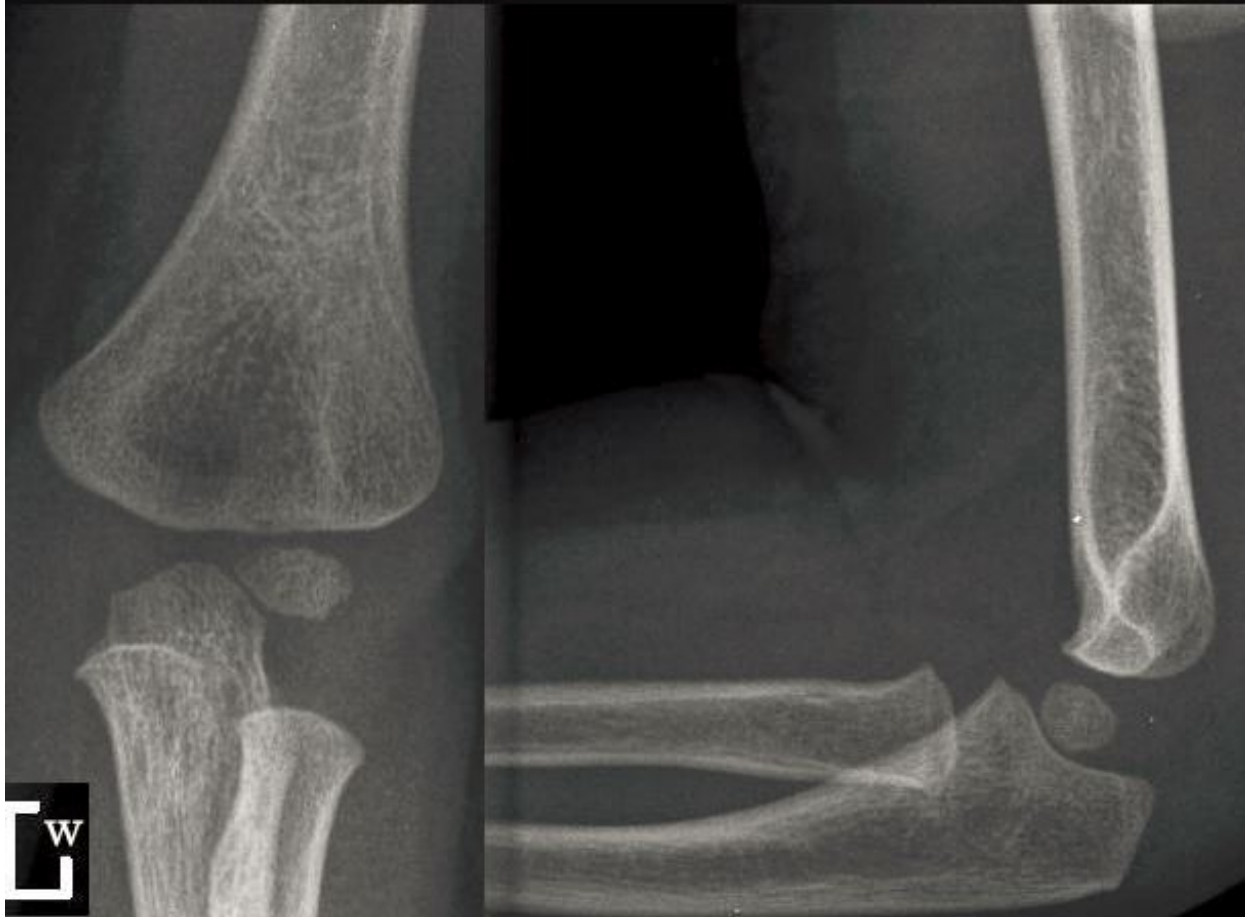
Komplette Unterarmfraktur



Monteggia-Fraktur



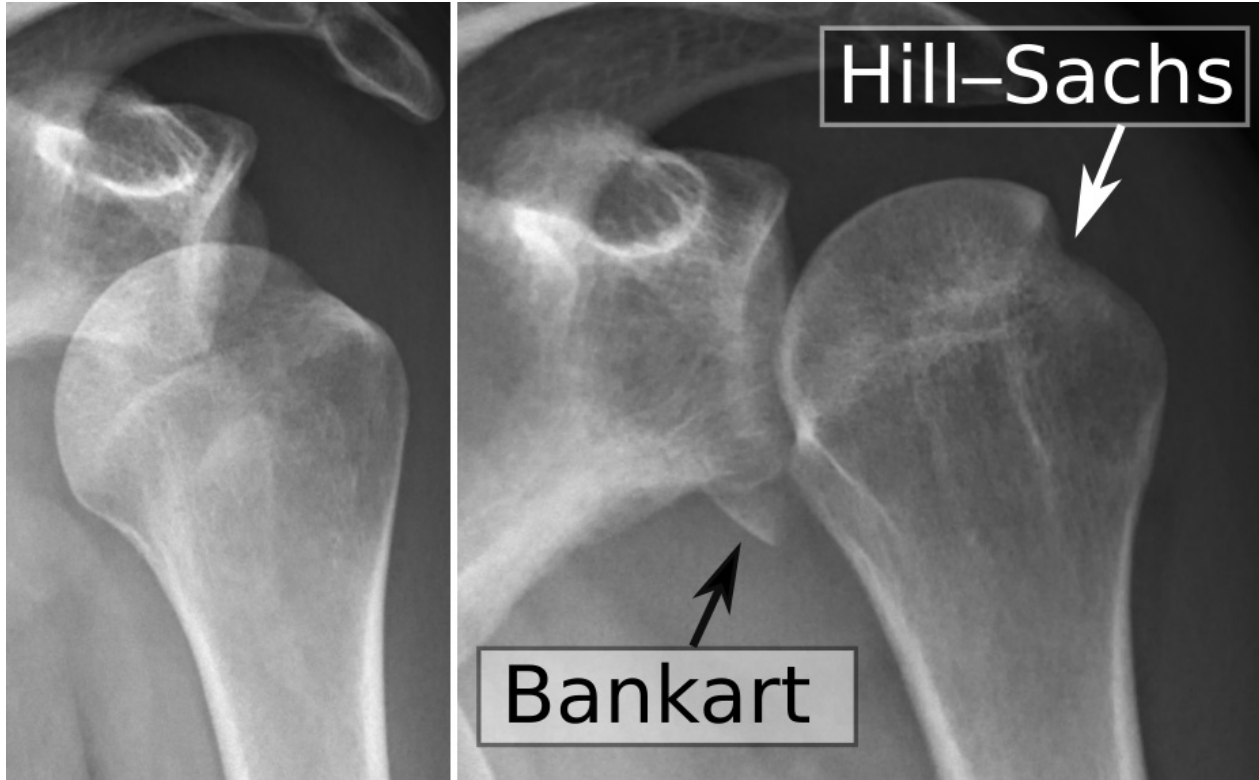
Chassaignac-Lähmung



Bowing-Fraktur



Bankart-und-Hill-Sachs-Läsion



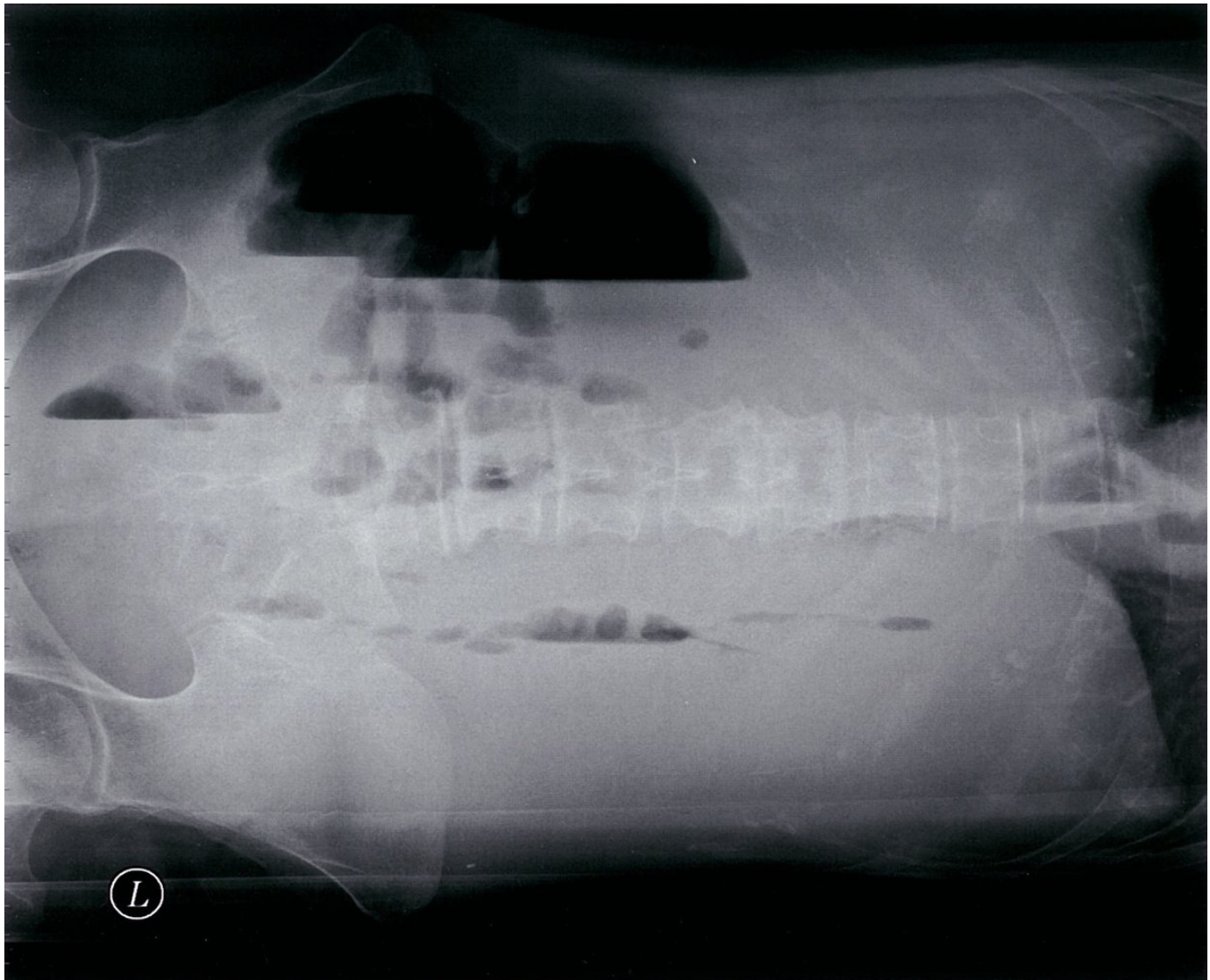
Hoffa-Fraktur



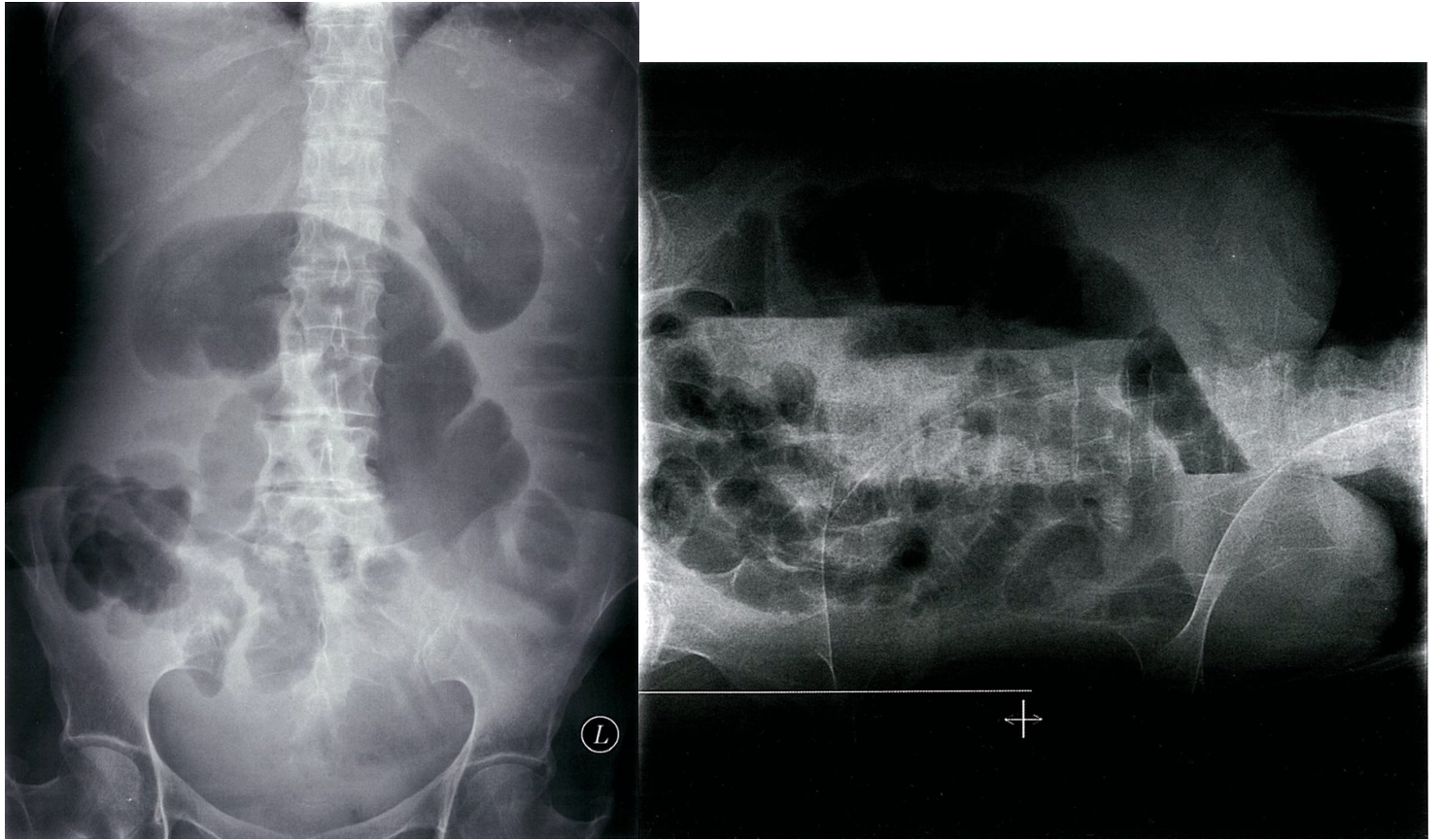
Unikondyläre Endoprothese



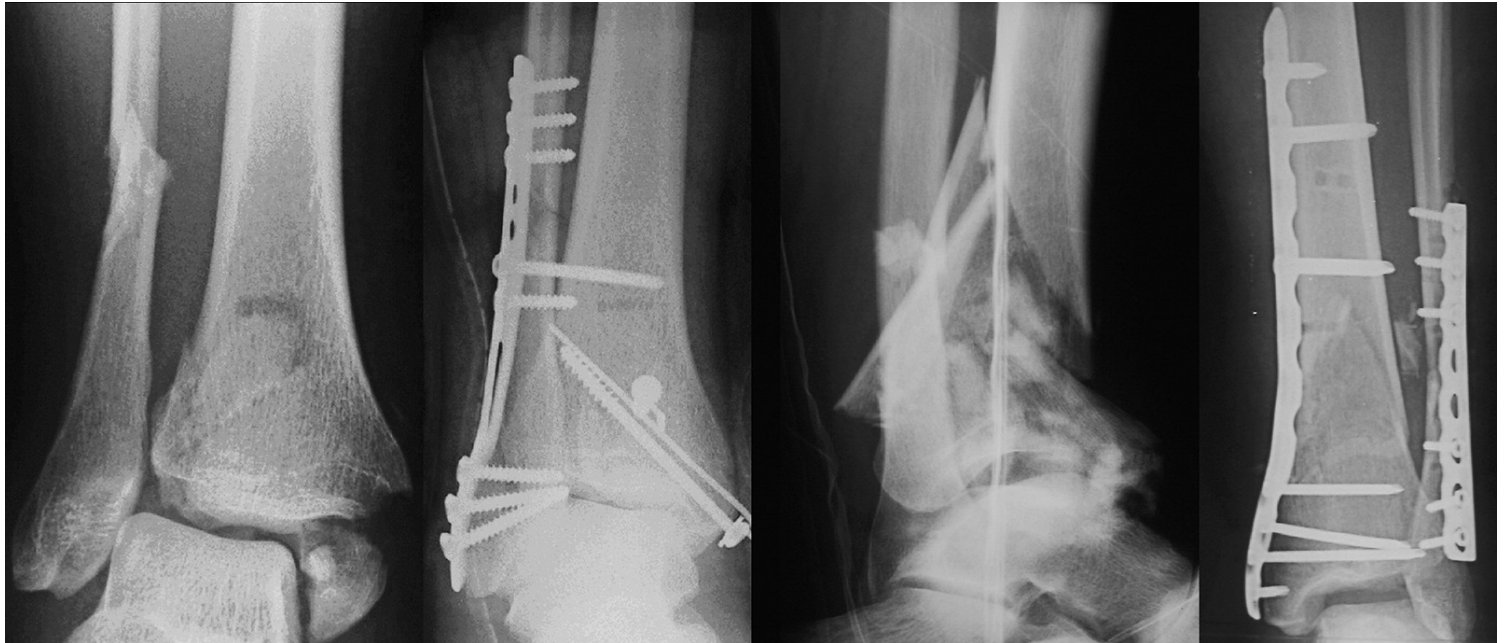
Ileus



Ileus



Pilon-tibiale-Fraktur



Volkmann-Dreiecks



Sprunggelenksfraktur (OSG-Luxationsfraktur)



Sprunggelenksfraktur



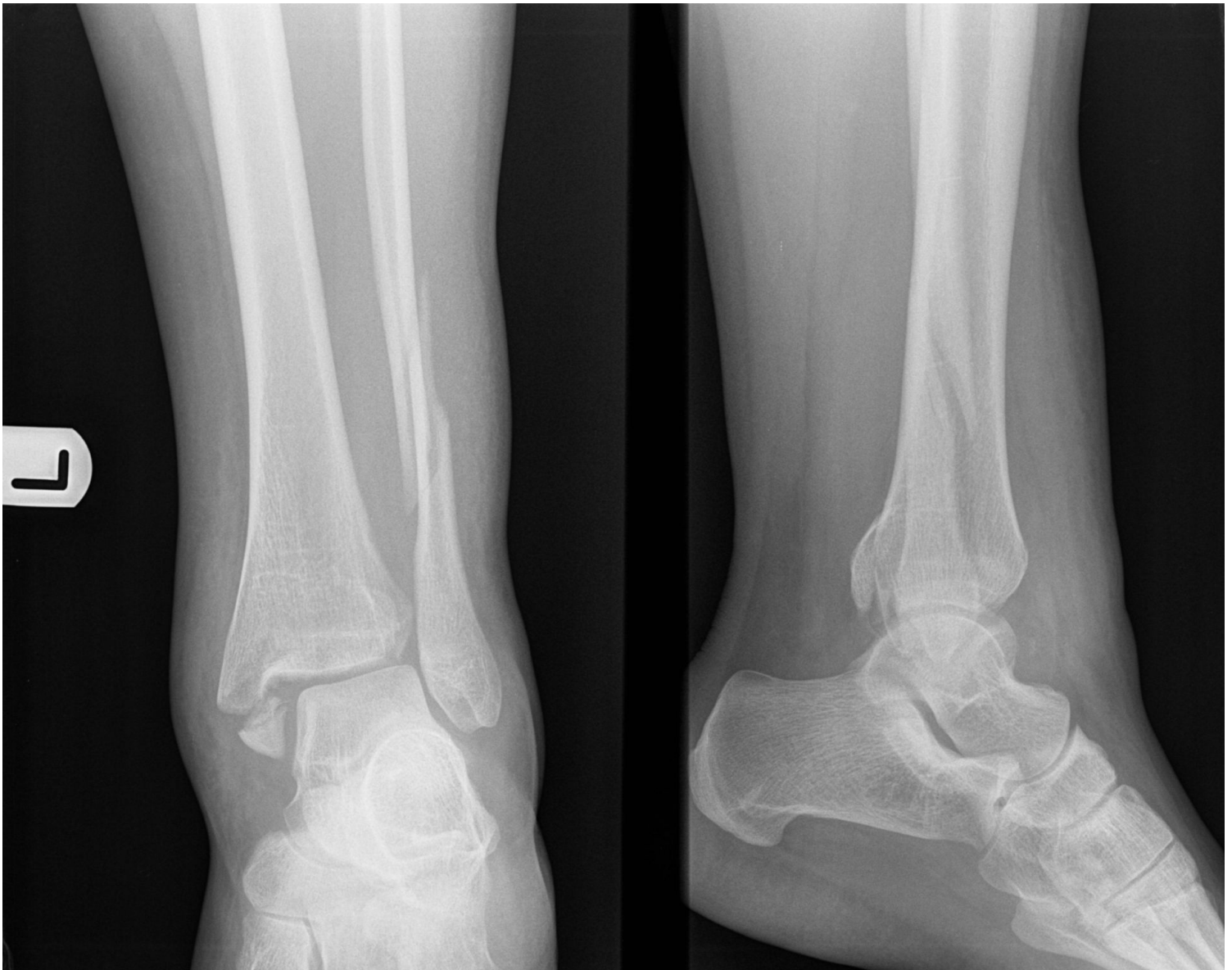
Sprunggelenksfraktur (Weber-A)



Sprunggelenksfraktur (Weber-B)



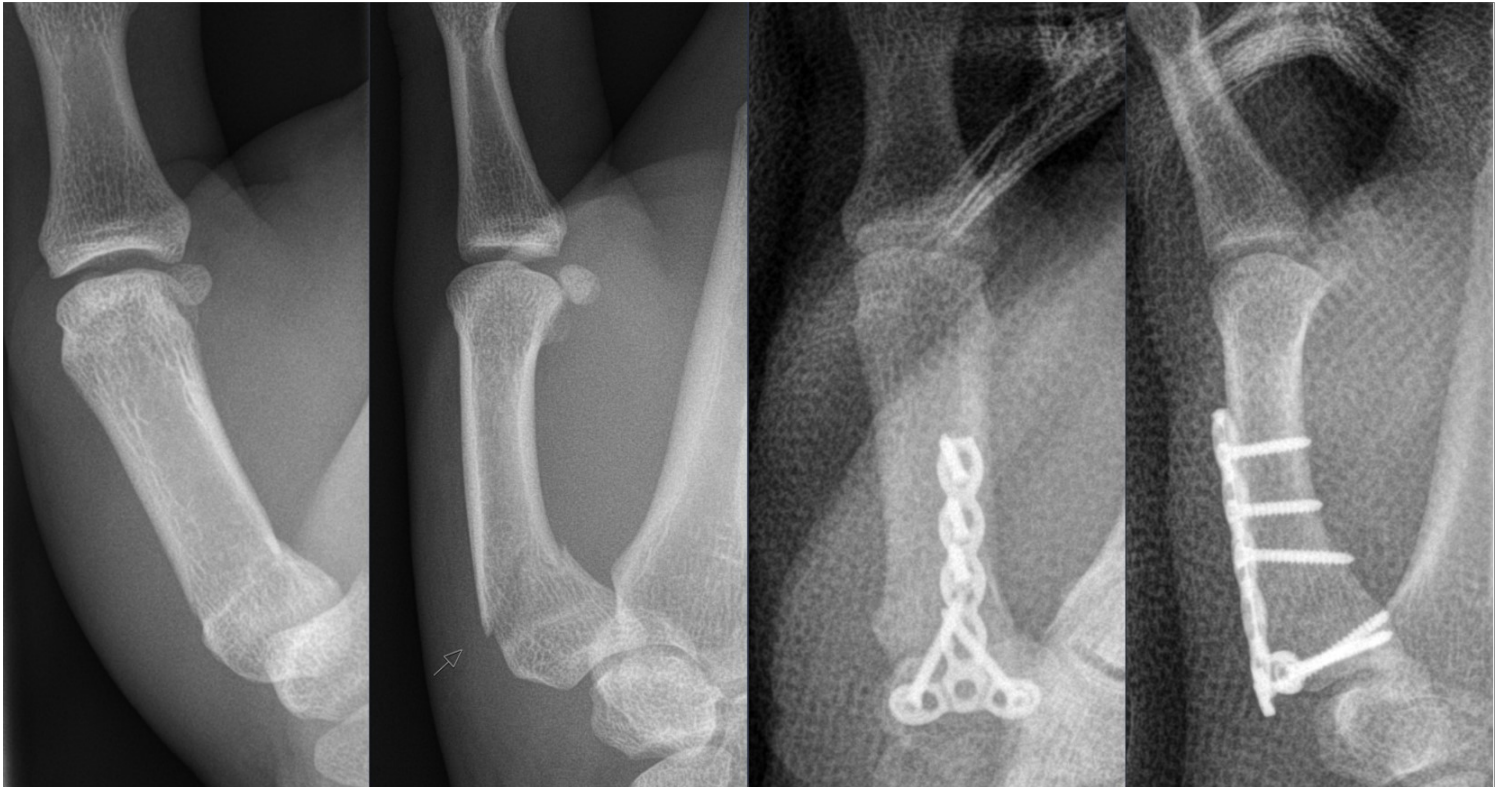
Sprunggelenksfraktur (Weber-C)



Myositis ossificans



Winterstein-Fraktur



Bandscheibenvorfall



**Bandscheiben-
vorfall**

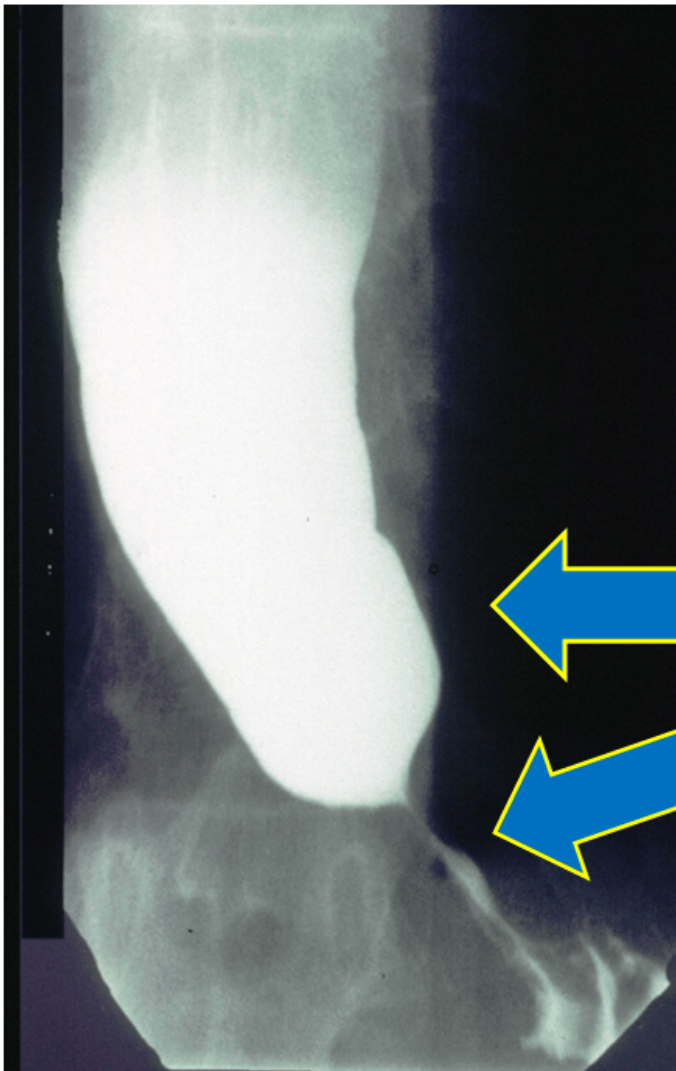


**Bandscheiben-
prothesen**



**Wirbelsäulen-
stabilisierung**

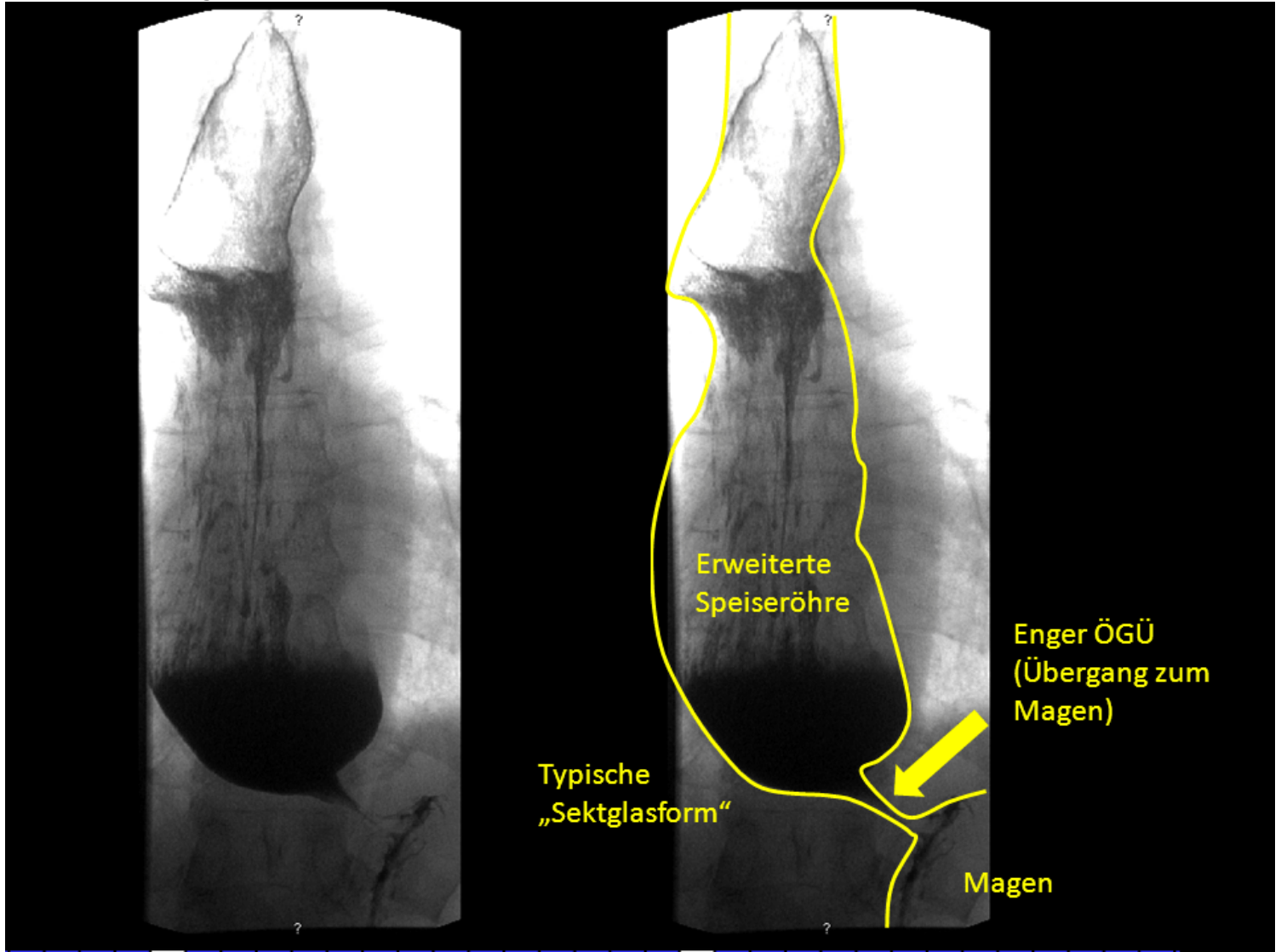
Achalasie im Röntgen-Breischluck



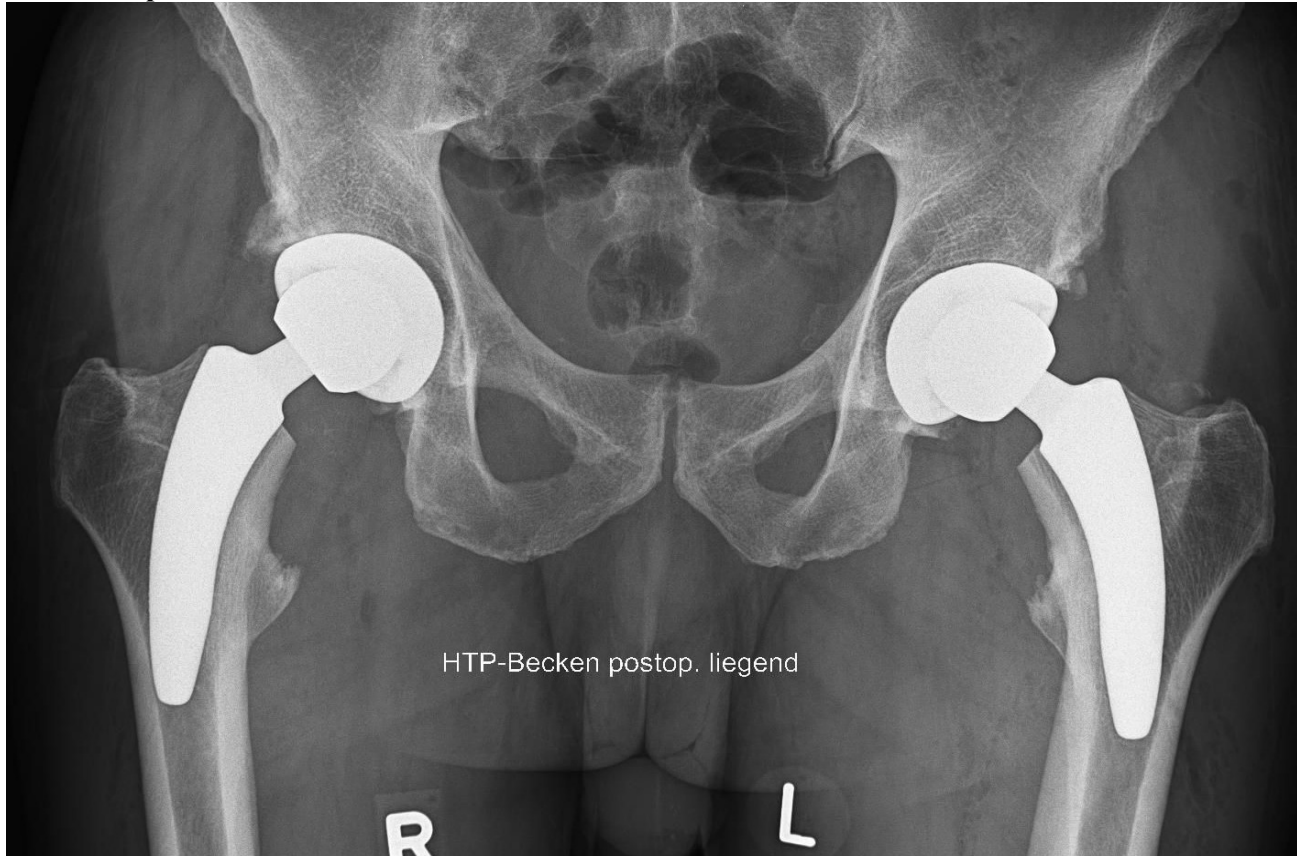
**Typische „Sektglasform“ der
Speiseröhre bei Achalasie
(Stadium I bis II):**

- Die Speiseröhre ist erweitert.
- Der Übergang zwischen Speiseröhre und Magen ist enggestellt.

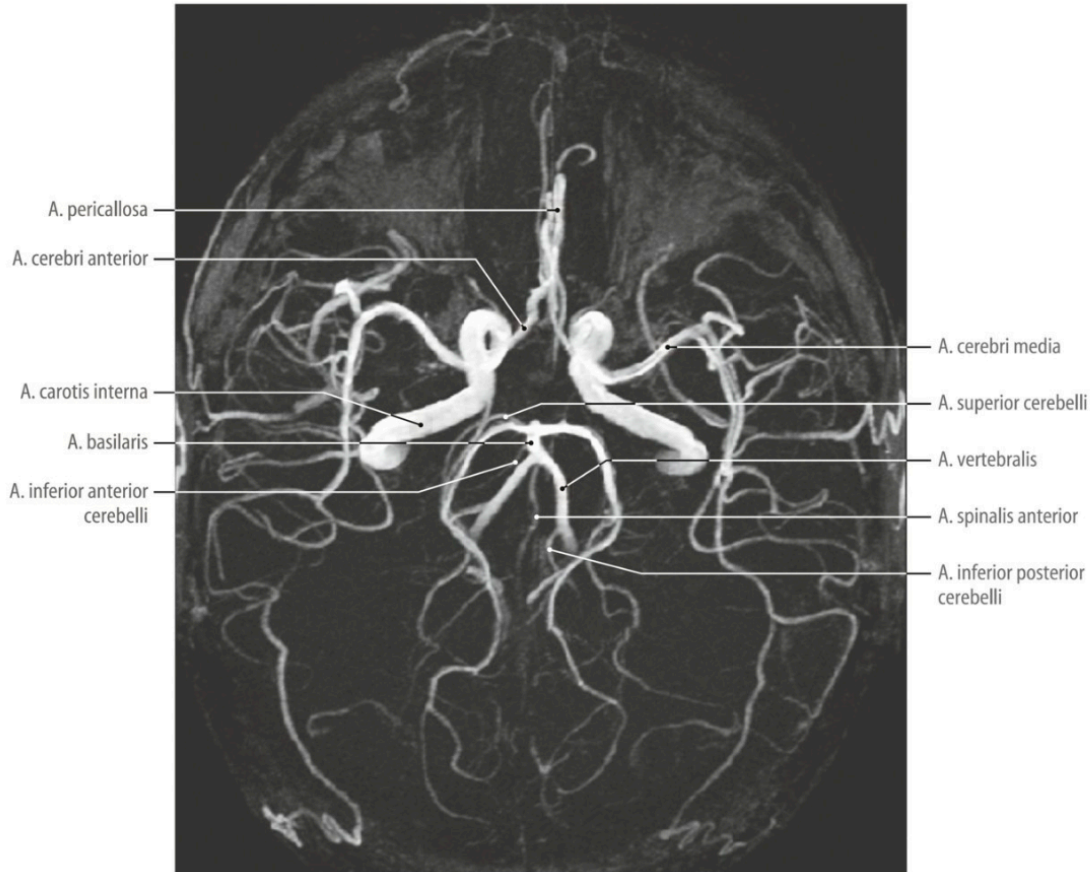
Achalasie im Röntgen-Breischluck



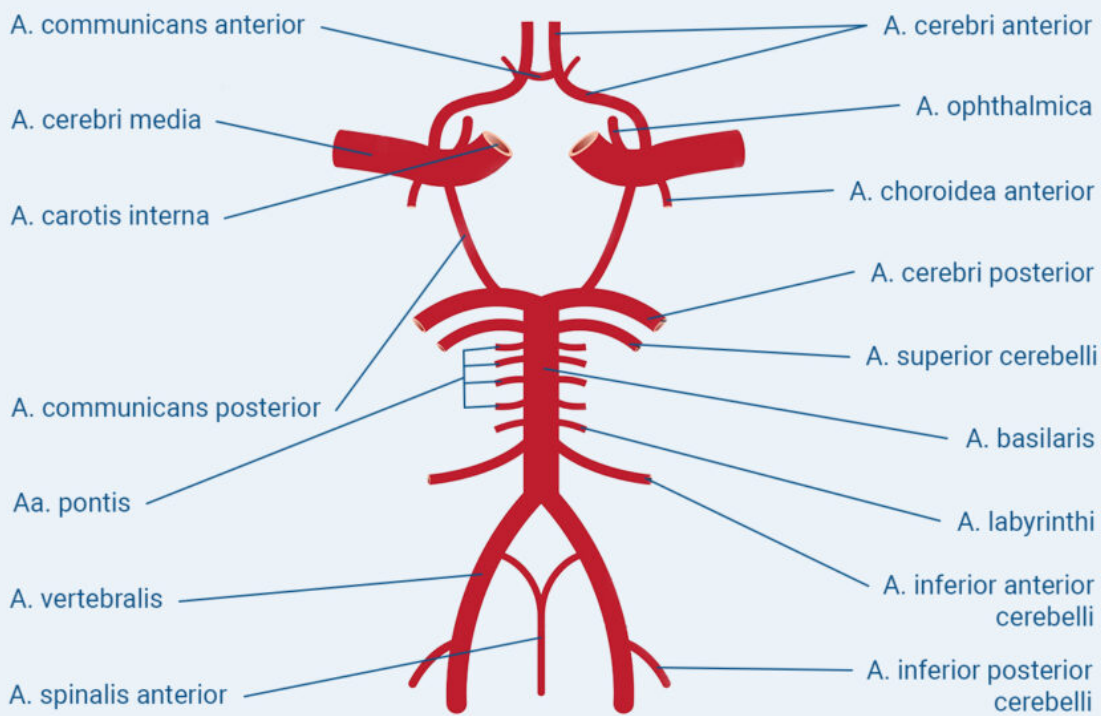
Kurzschaffprothese



Circulus arteriosus Willisii



Circulus arteriosus Willisii

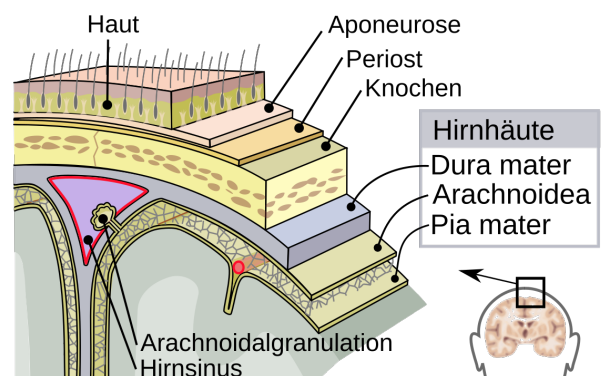
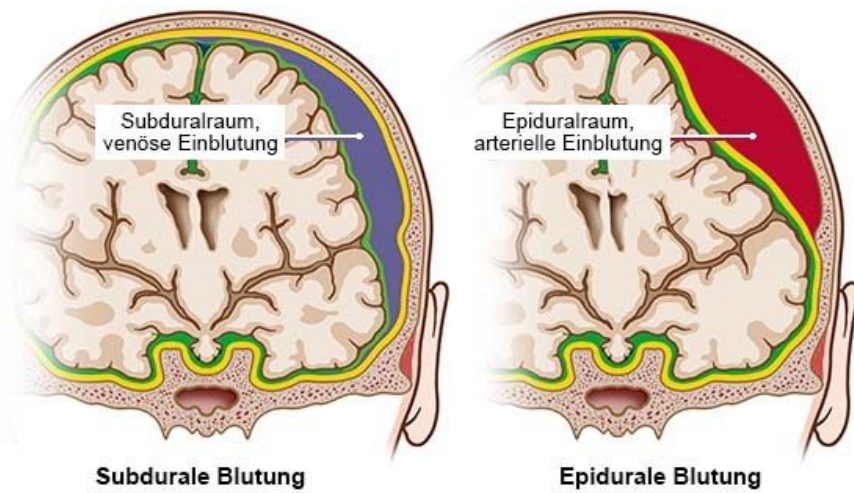
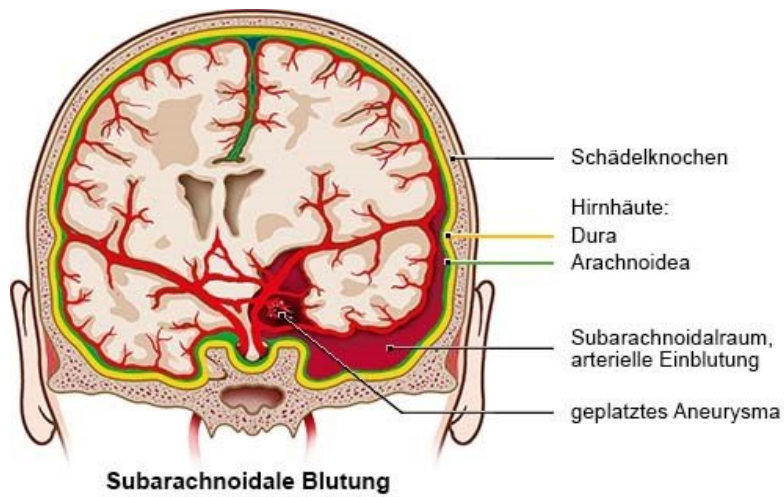


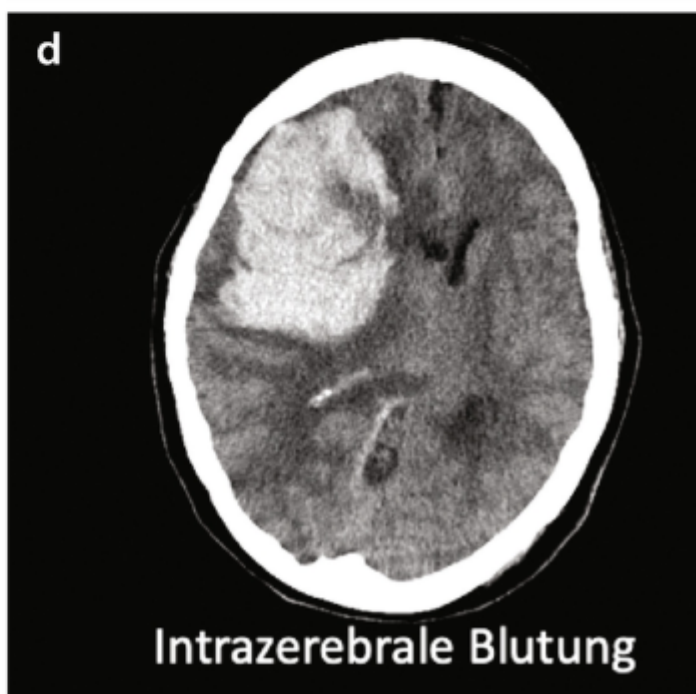
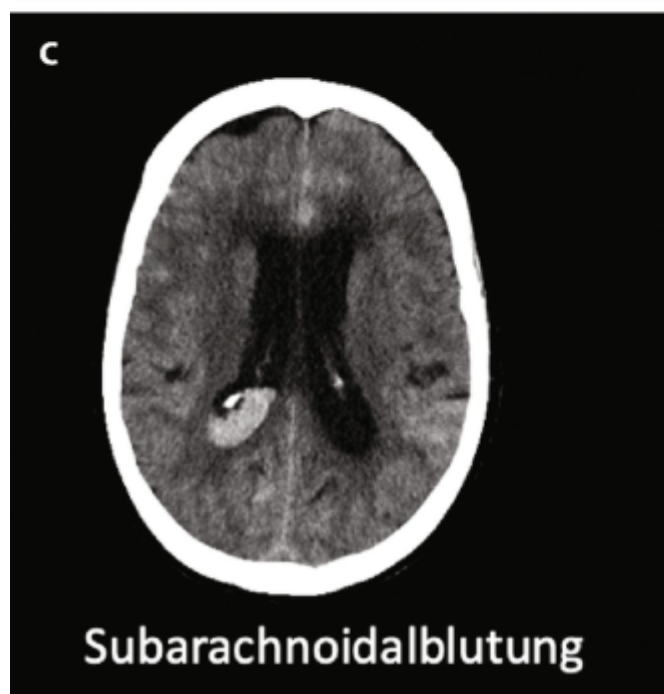
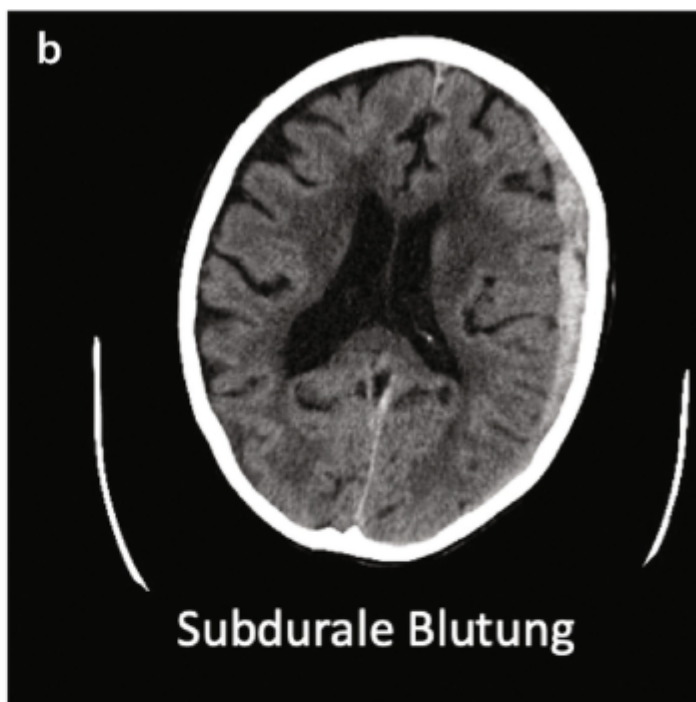
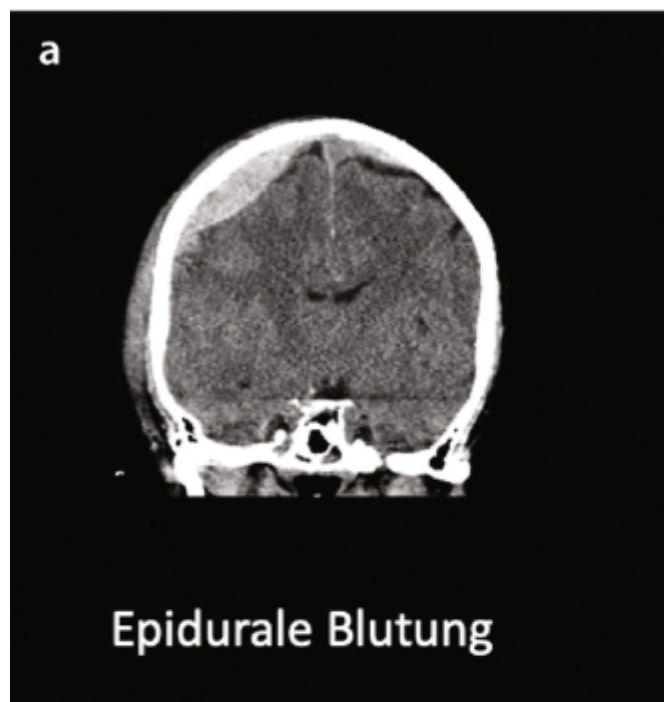
Medi-Karriere

Epidurale Blutung/ Hämatom

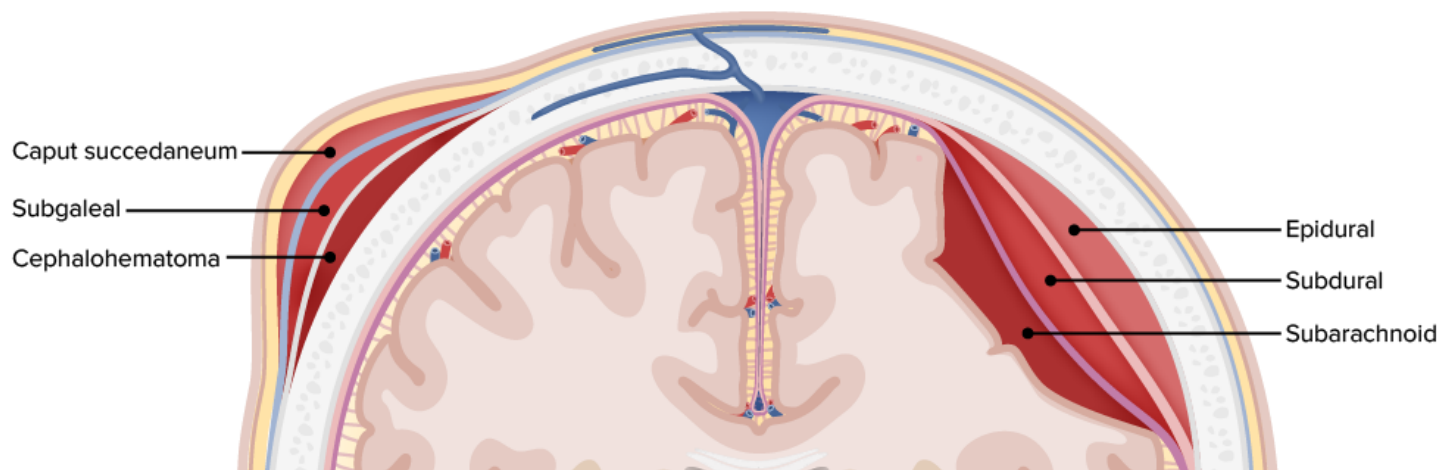


Hirnblutungen





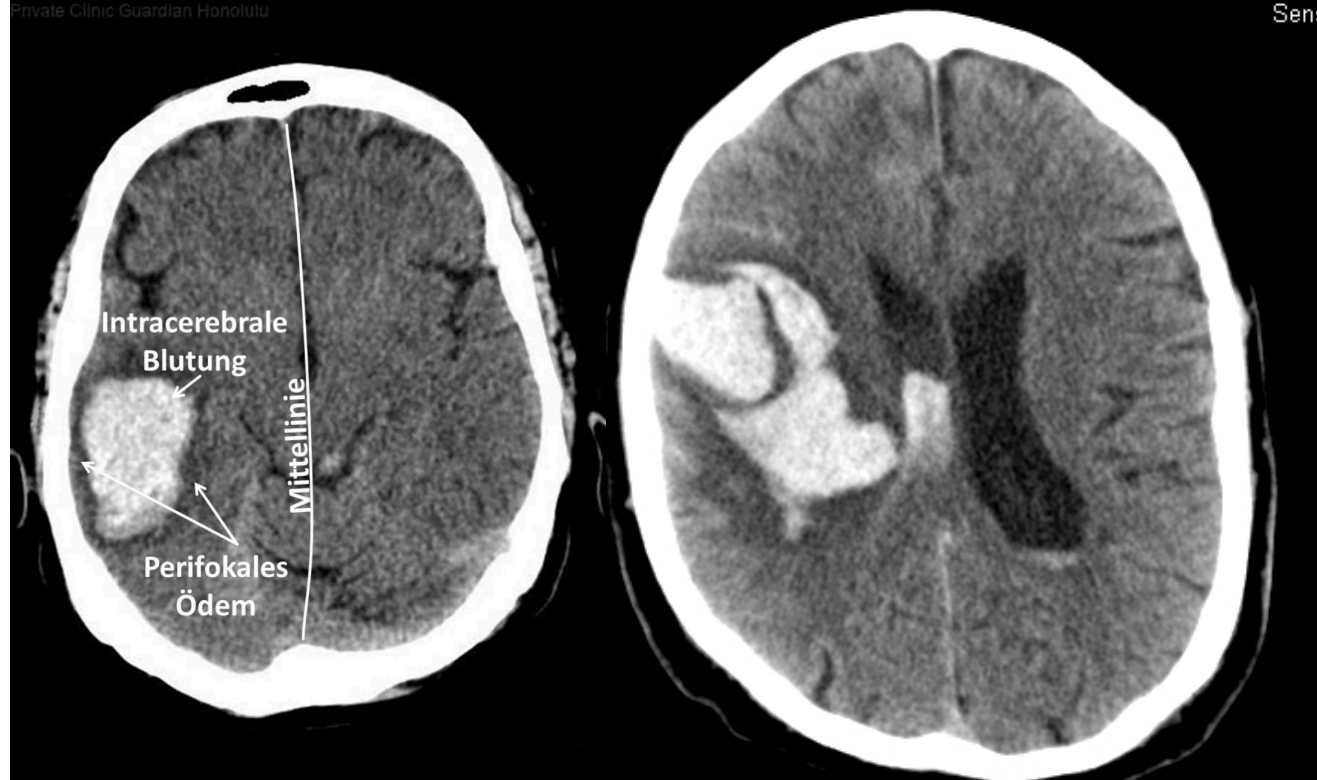
Hirnblutungen



Intrazerebrale Blutung

Private Clinic Guardian Honolulu

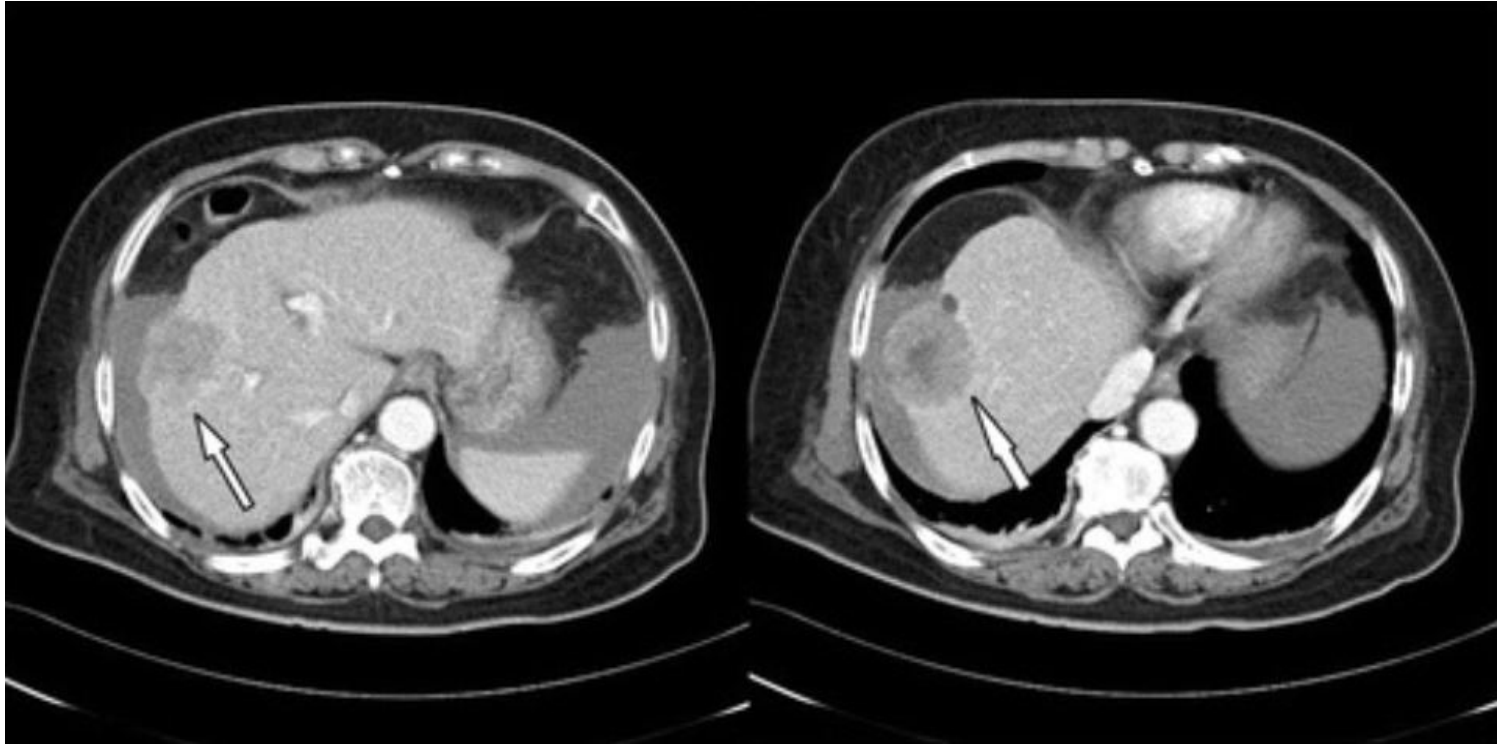
Sens



Subarachnoidalblutung



Hepatozelluläres Karzinom (HCC)

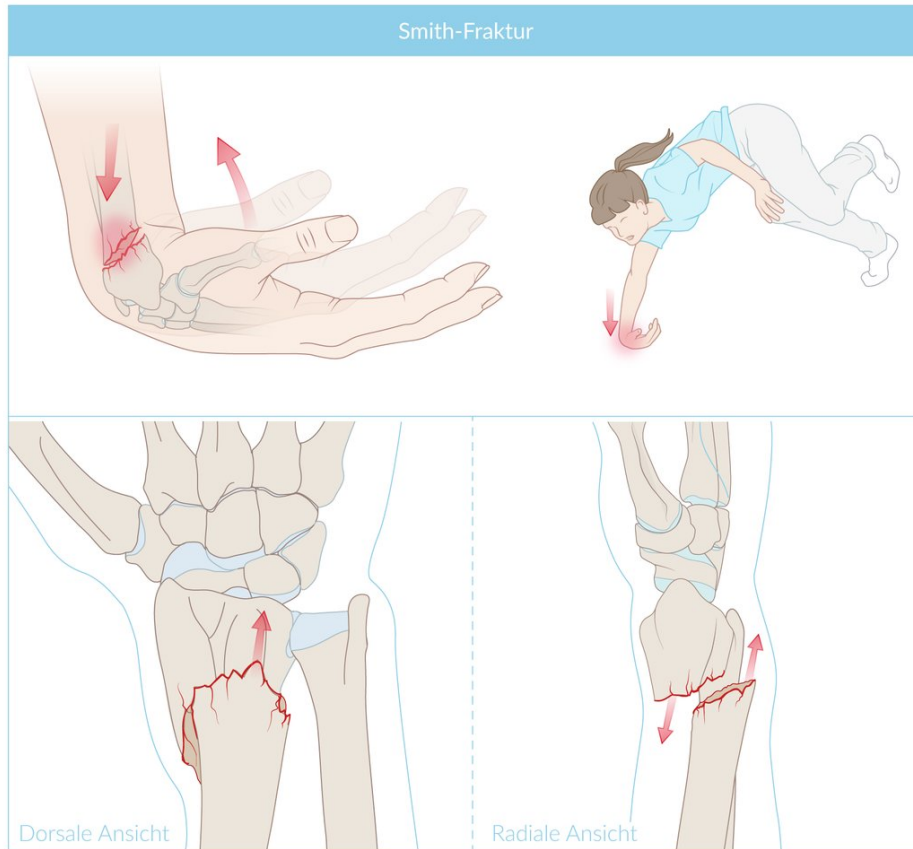


Splenomegalie bei Non-Hodgkin-Lymphom



Sonstige Bilder

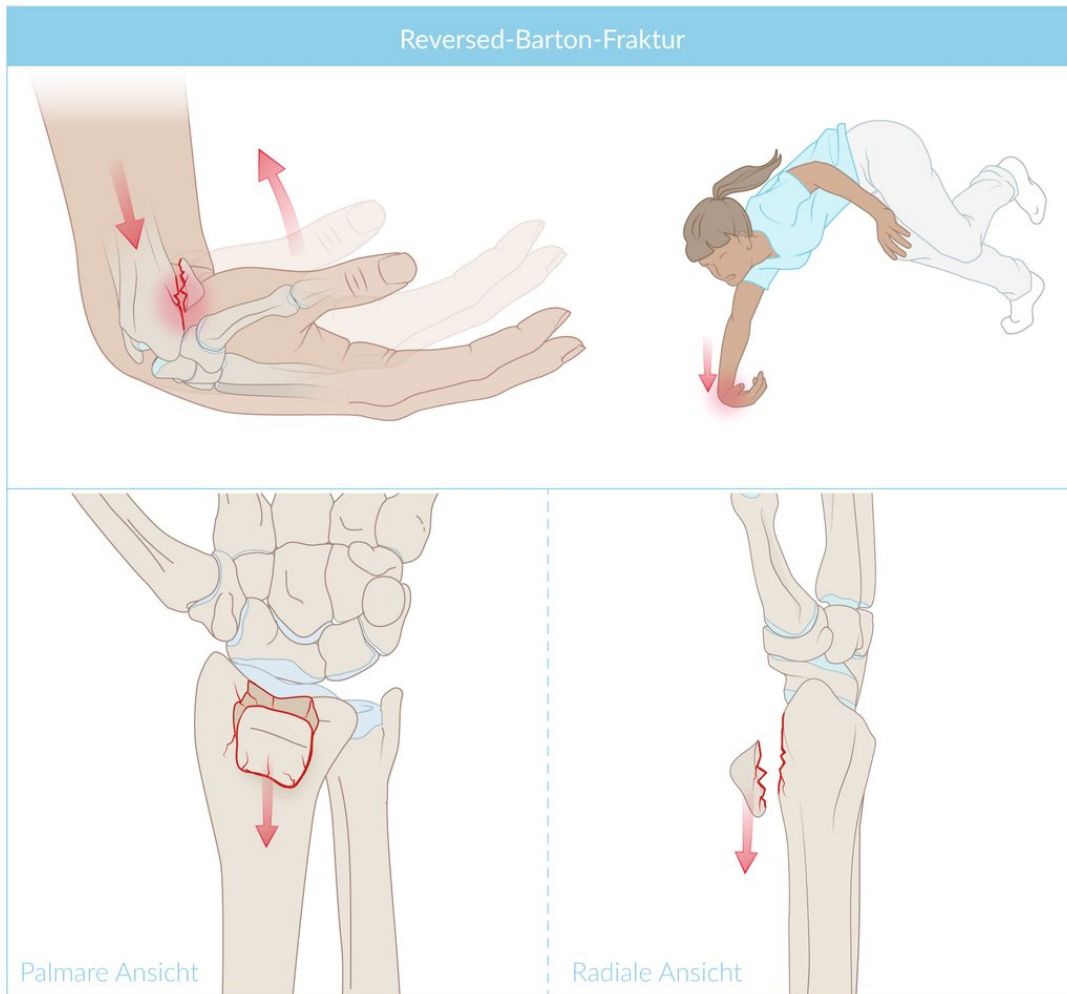
Smith-Fraktur



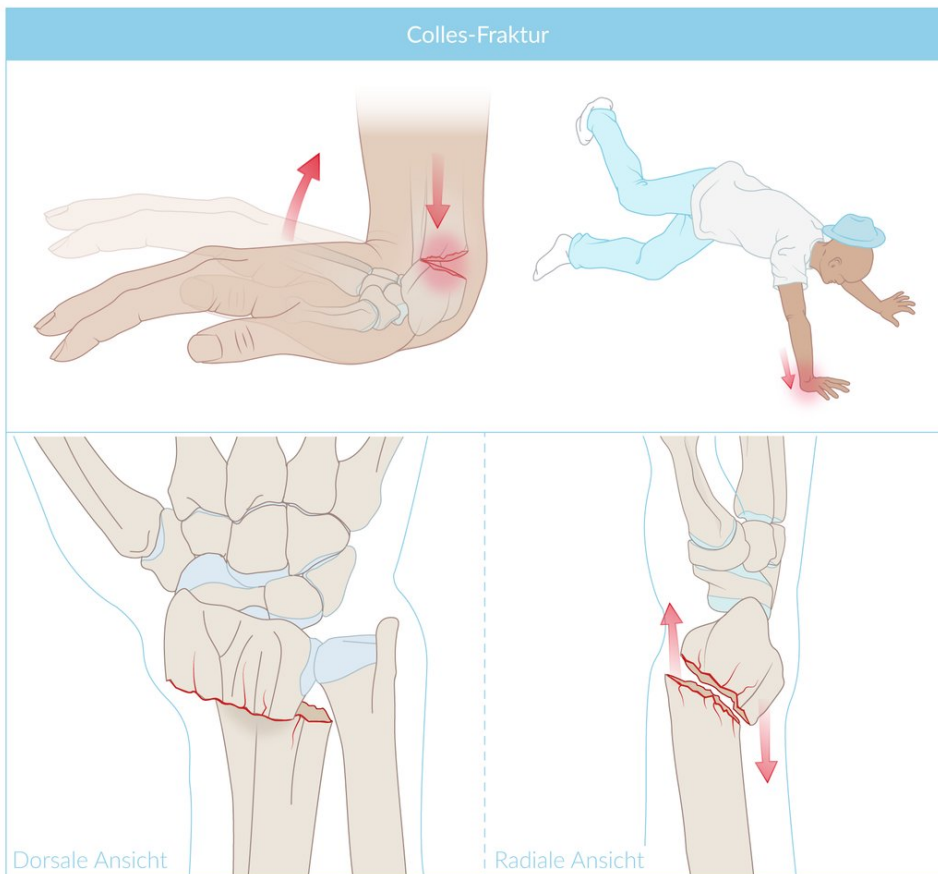
Fourchette-Fehlstellung



Reversed-Barton-Fraktur



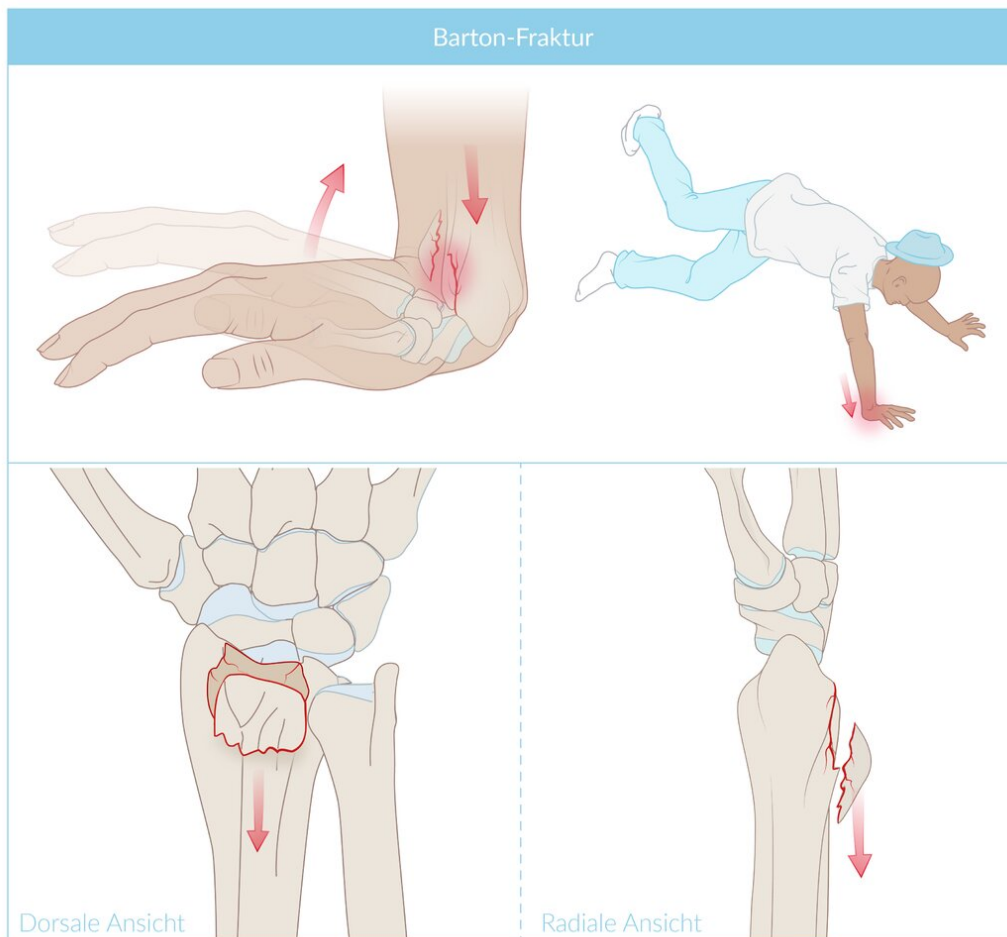
Colles-Fraktur



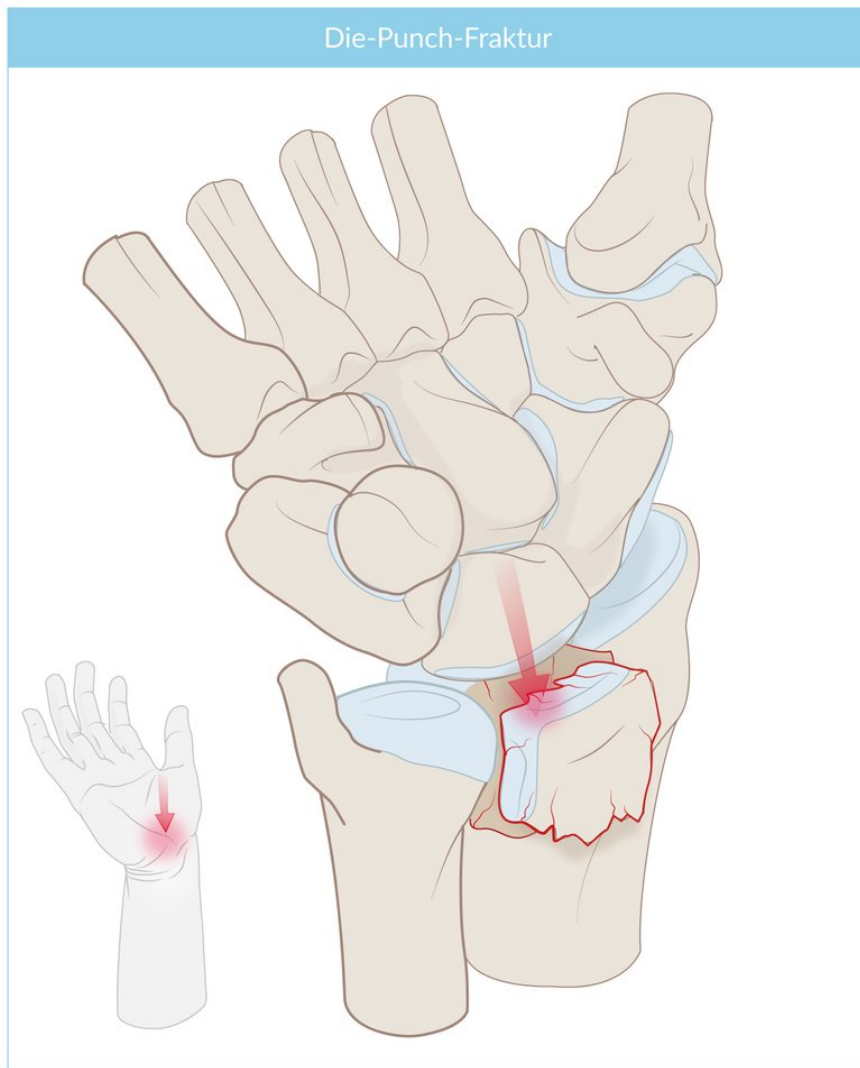
Bajonett-Fehlstellung



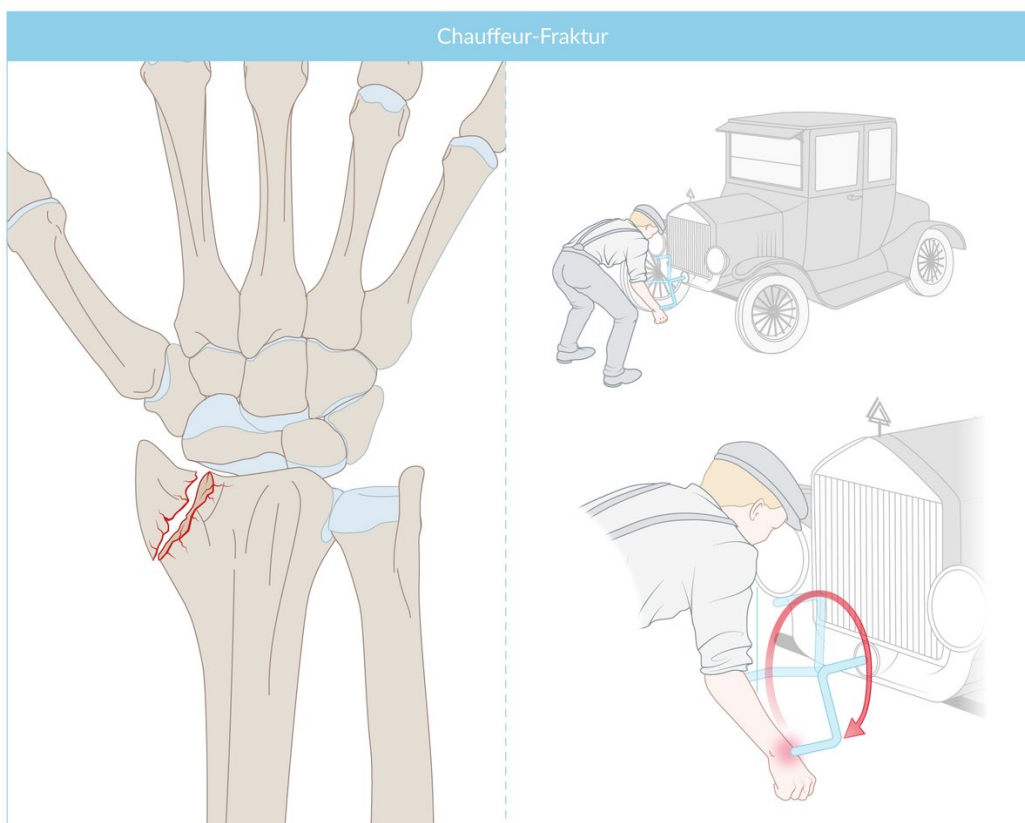
Barton-Fraktur



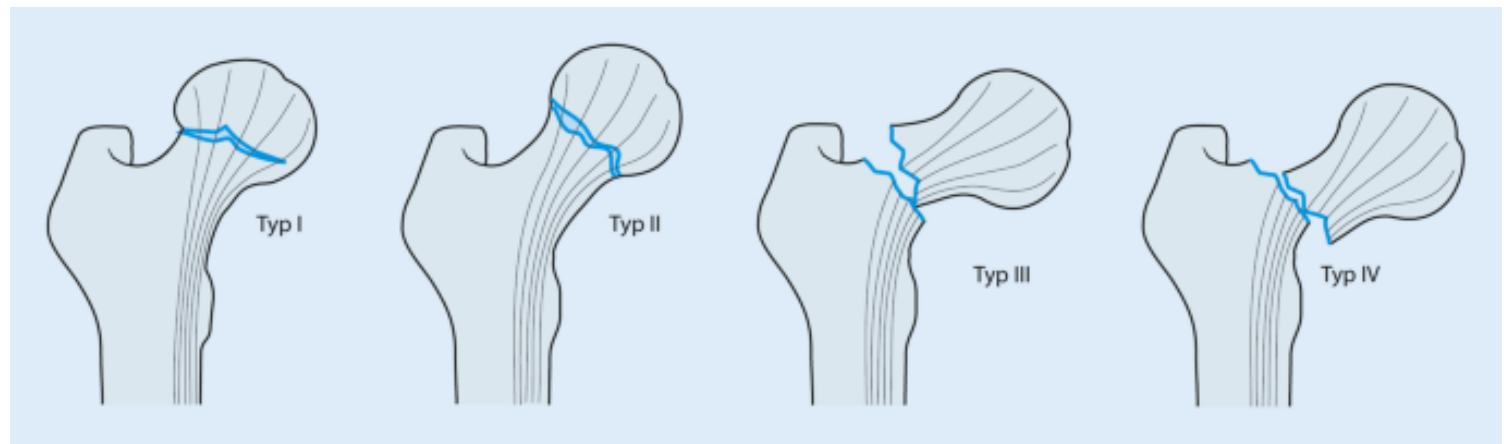
Punch-Fraktur



Chauffeur-Fraktur

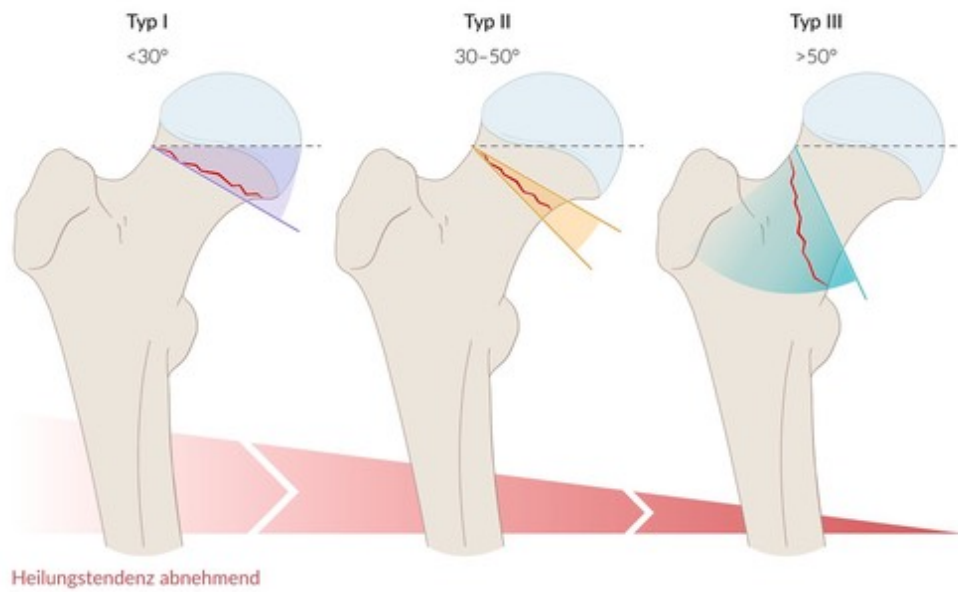


Garden-Klassifikation

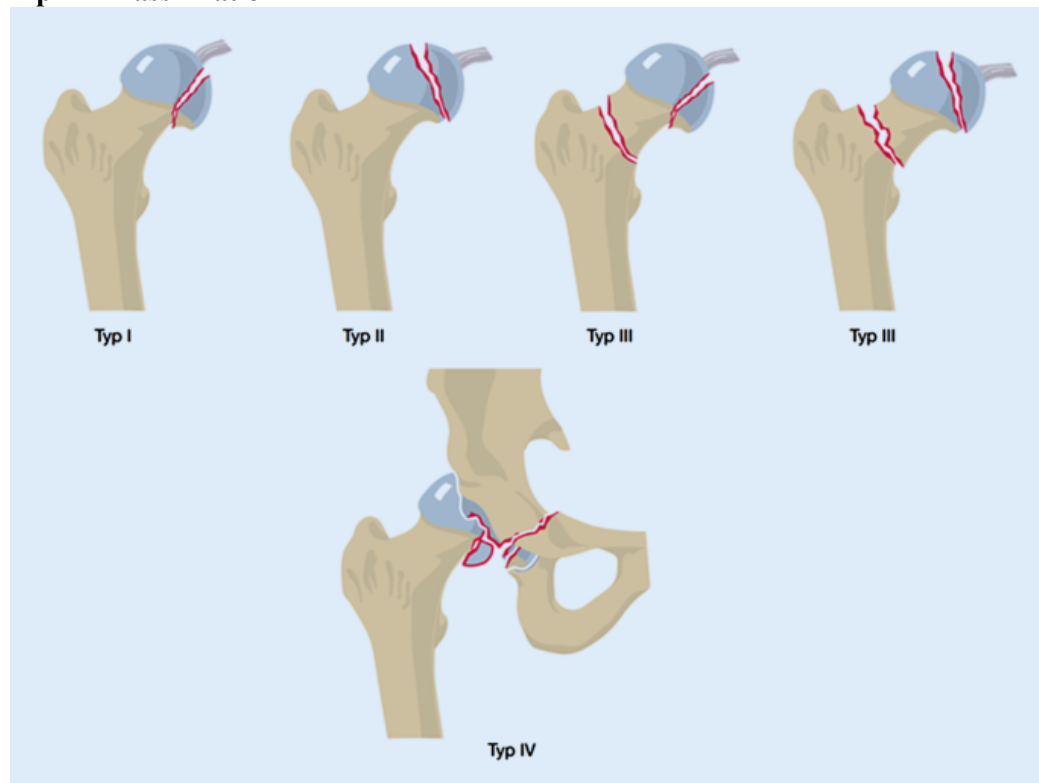


Pauwels-Klassifikation

Klassifikation der Schenkelhalsfraktur nach Pauwels



Pipkin-Klassifikation



Gilchristverband



Desault-Verband



Donjoy-Schiene



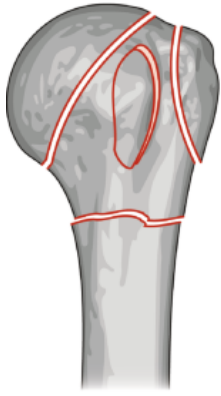
Mecronschiene



CPM-Schiene

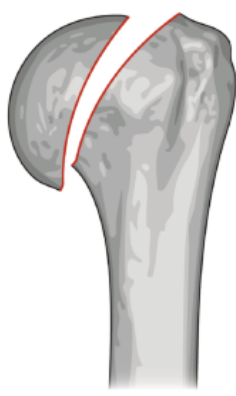


Hummerusfrakturen nach Neer



Neer I

- ◊ minimale Dislokation
- ◊ ggf. alle 4 Segmente betroffen



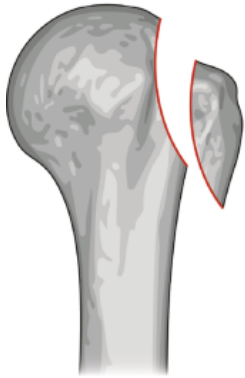
Neer II

- ◊ Fraktur und Dislokation am Collum anatomicum



Neer III

- ◊ Fraktur und Dislokation am Collum chirurgicum



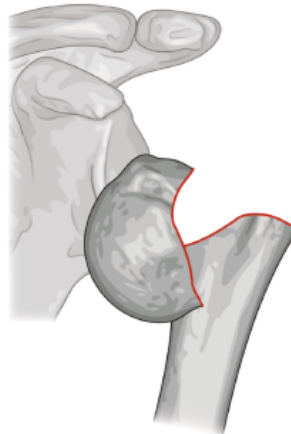
Neer IV

- ◊ Absprengung und Dislokation des Tuberculum majus



Neer V

- ◊ Absprengung und Dislokation des Tuberculum minus



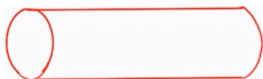
Neer VI

- ◊ Luxationsfraktur

Vaskulitiden

Vaskulitiden

Vaskulitis = Entzündung in Gefäßwänden



Arteriitis temporalis



Kawasaki Syndrom



ANCA-assoziiert

Morbus Wegener
mikroskopische Polyangiitis
Churg Strauss Syndrom

Takayasu Arteriitis

Panarteriitis nodosa

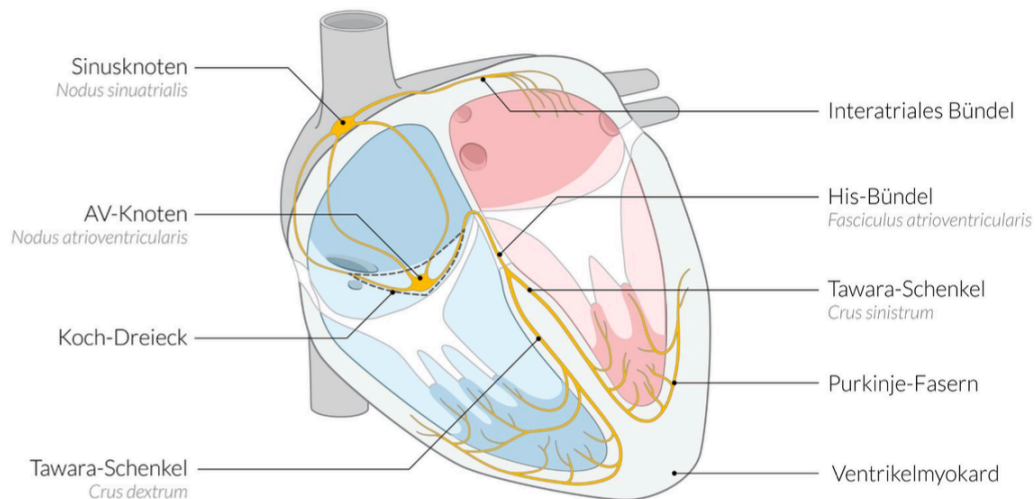
nicht-ANCA-assoziiert

kryoglobulinämische Vaskulitis
Morbus Behcet
Purpura Schönlein Henoch
kutane leukozytoklastische Vaskulitis

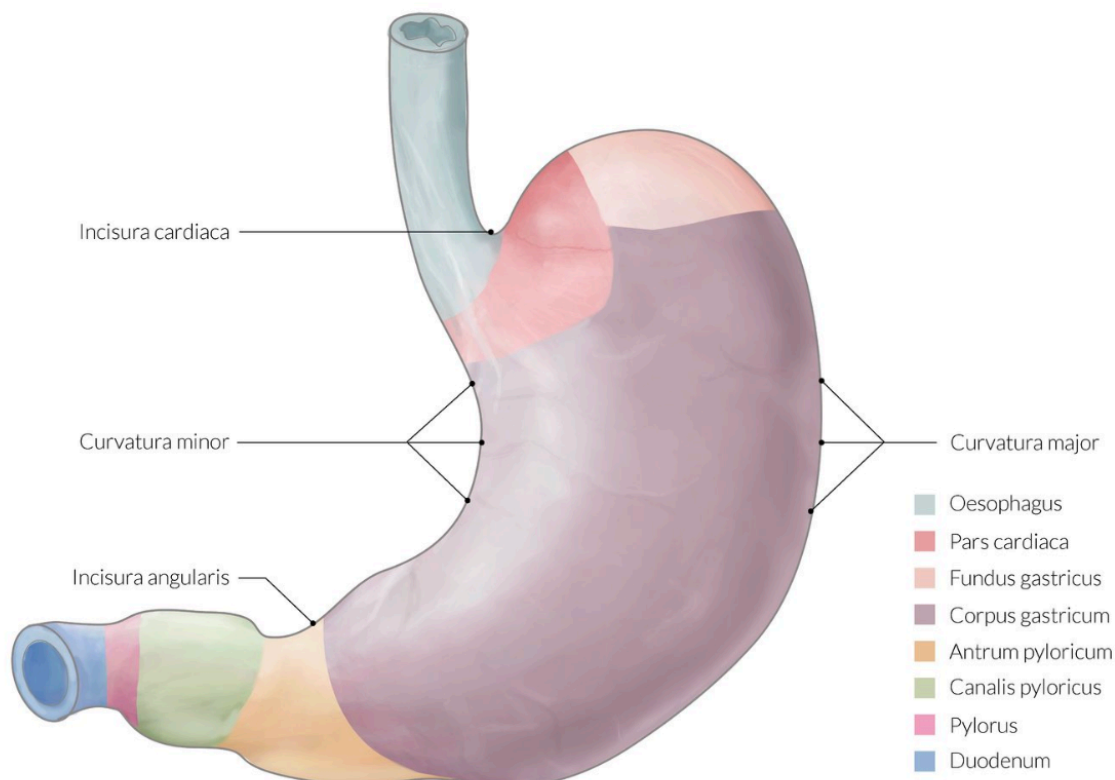
Arthrose vs. Arthritis

Arthrose	Arthritis
Im Alter zunehmend	Abhängig von Erkrankung
Schmerzen bei Belastung	Schmerzen in Ruhe
Maximum am Abend	Maximum am Morgen
Besserung in Ruhe	Besserung bei Bewegung
Wärme tut gut	Kälte tut gut

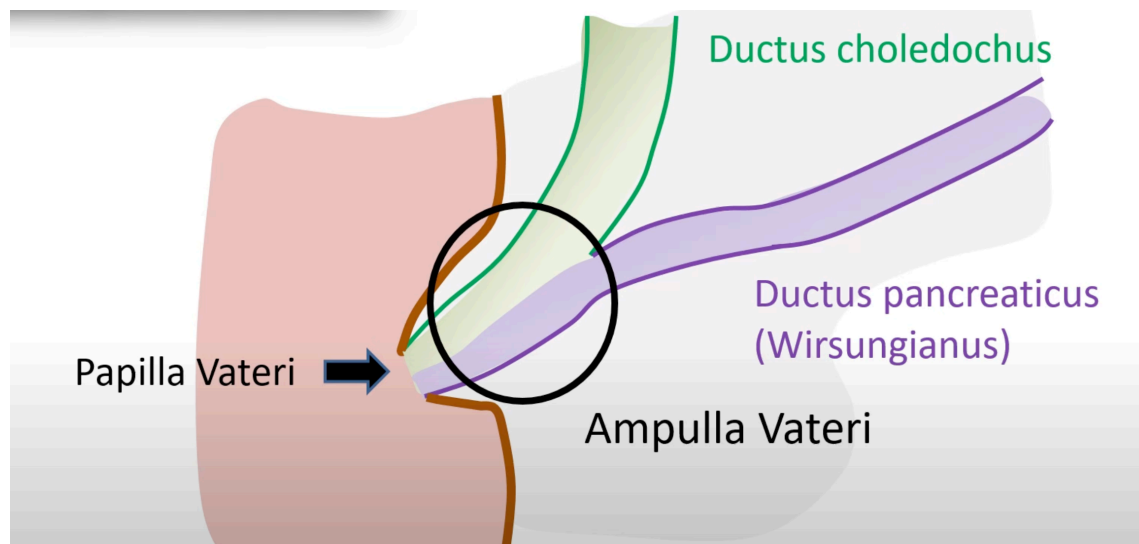
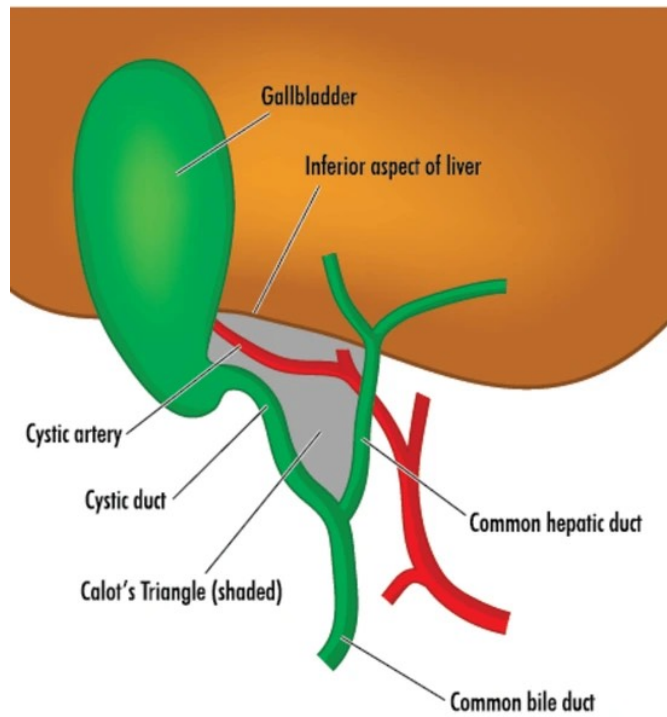
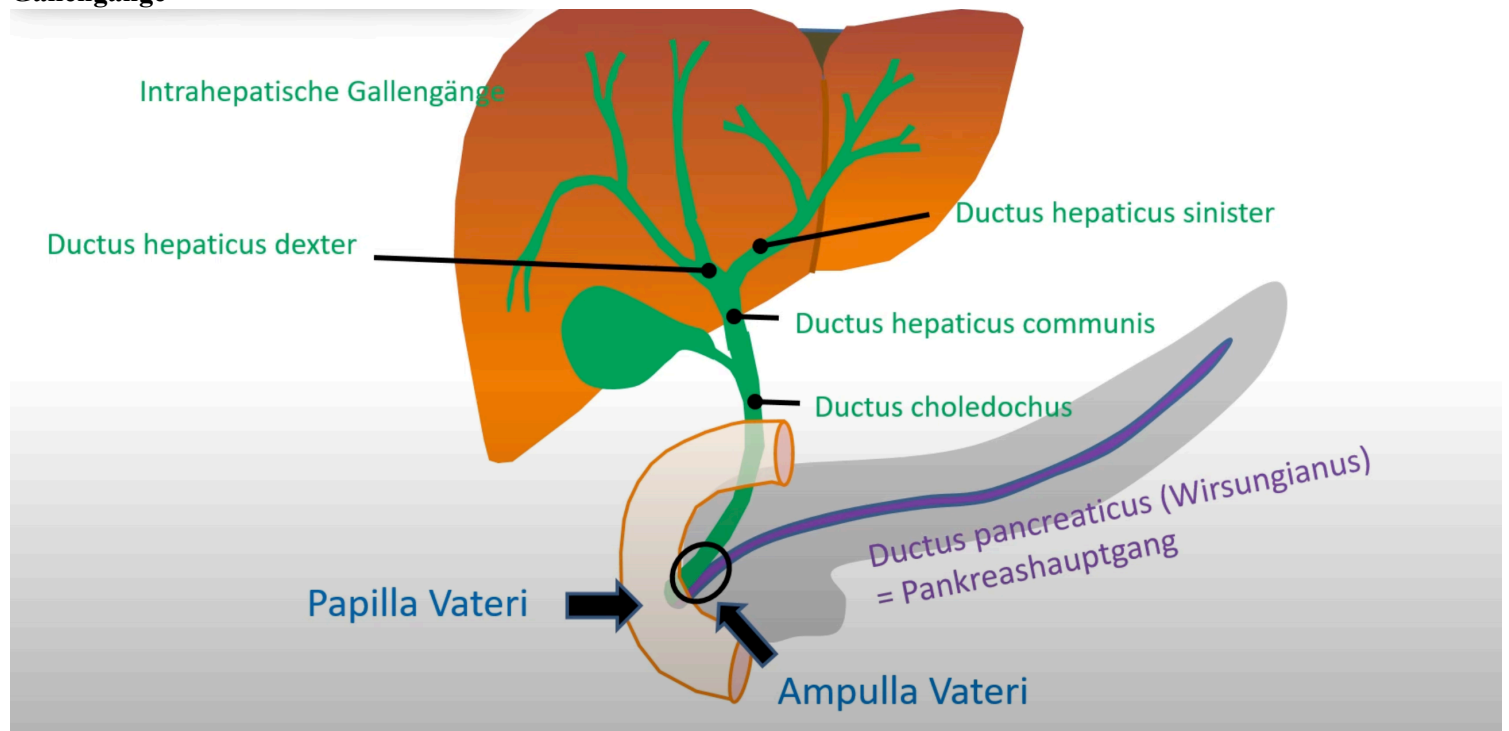
Erregungsleitungssystem des Herzens



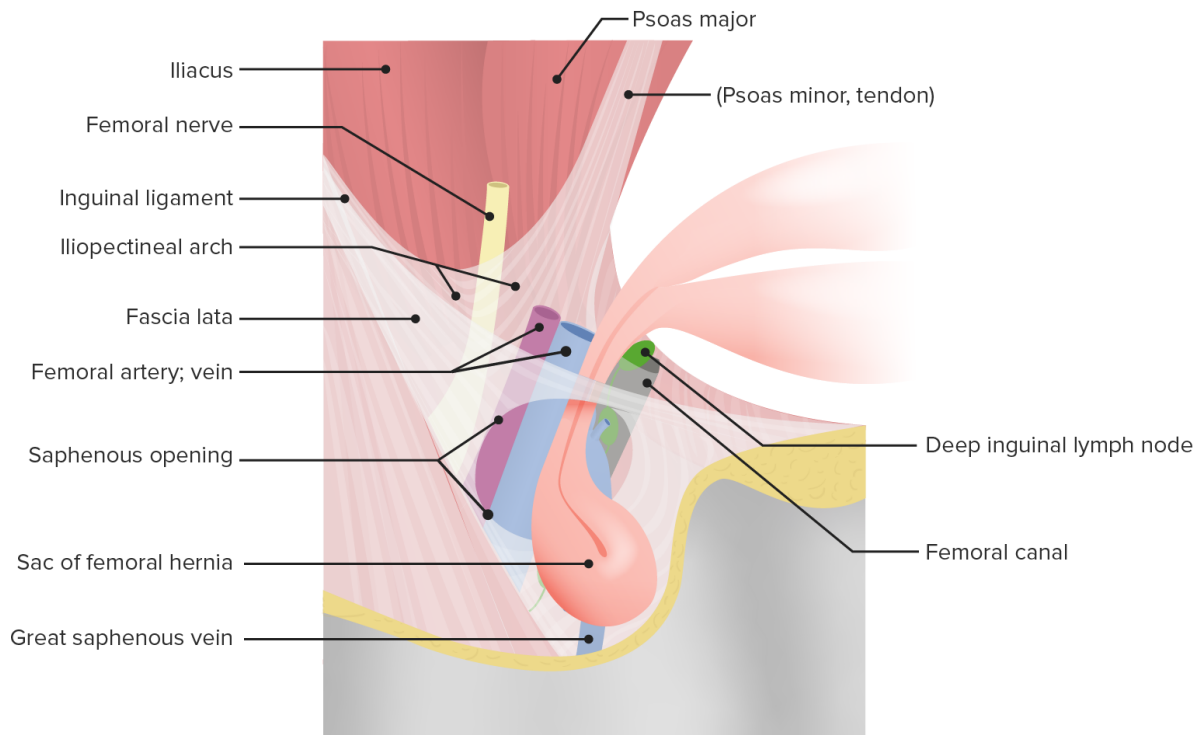
Anatomie des Magens



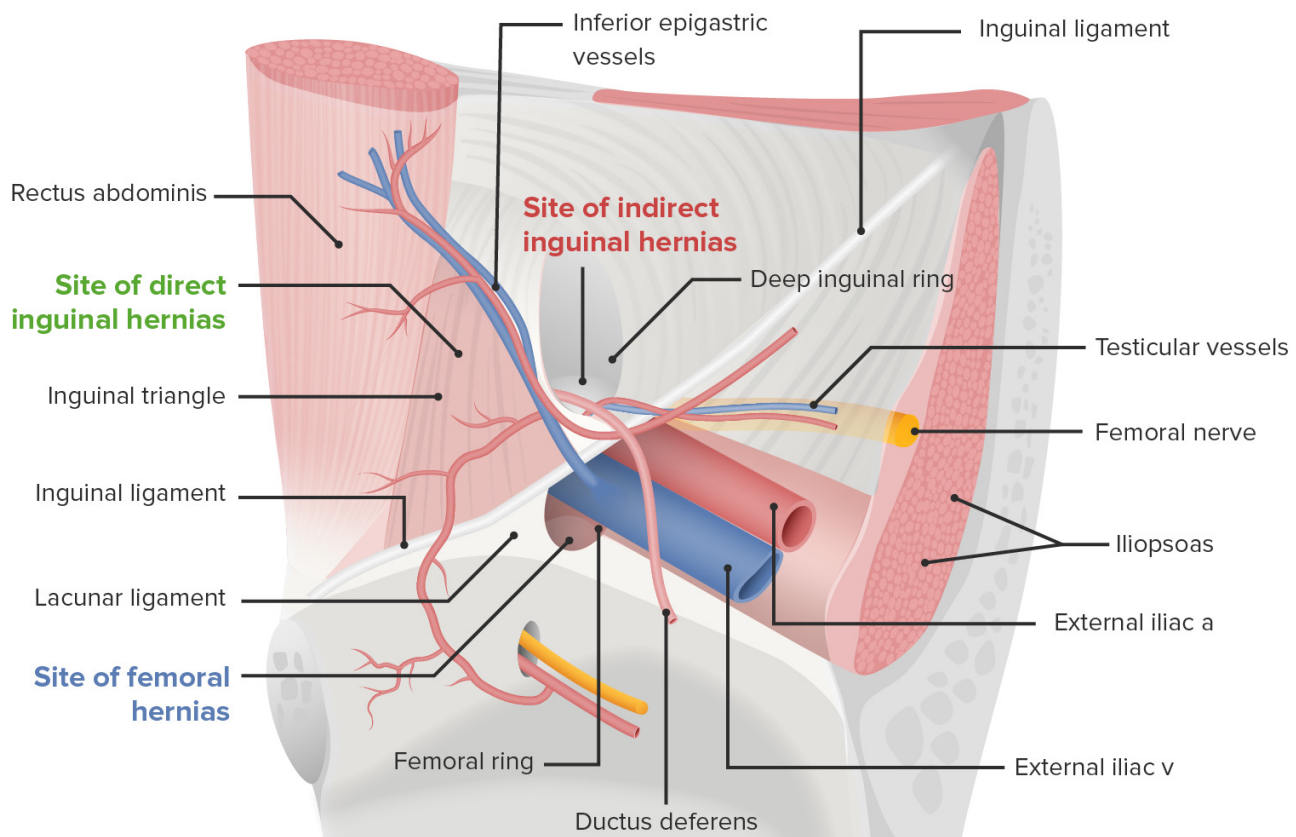
Gallengänge



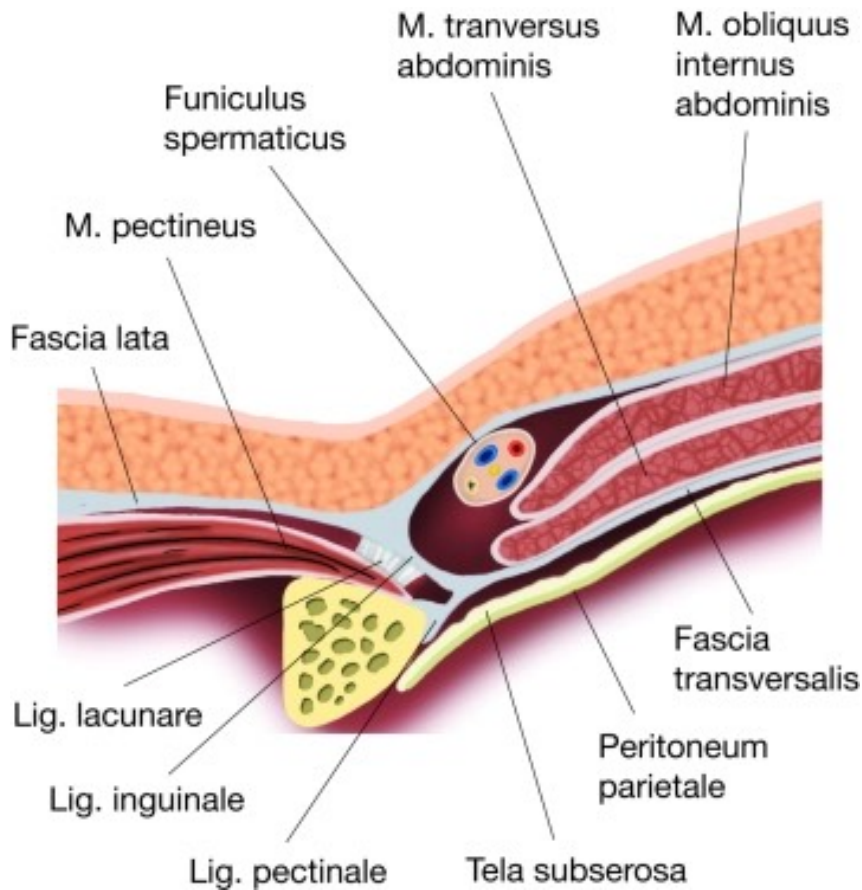
Femoralhernie



Leistenhernie



Leistenhernie



Kolostoma und Ileostoma

Kolostoma und Ileostoma



Endständiges Kolostoma:

meistens links unten am Bauch – hier als permanentes Stoma, der Mastdarm wurde komplett entfernt



Doppelläufiges Kolostoma:

häufig am oberen, querverlaufenden Teil des Dickdarms – der Darm hinter dem Stoma ist stillgelegt (schraffierter Teil).



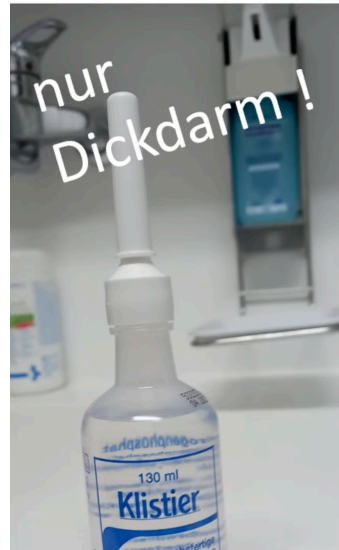
Endständiges Ileostoma:

meist im rechten Unterbauch – hier als permanentes Stoma, der Dickdarm wurde komplett entfernt.



Doppelläufiges Ileostoma:

in der Regel am rechten Unterbauch angelegt – der Dickdarm ist stillgelegt (schraffierter Teil).



CAVE: Klistier-Applikation via Stoma

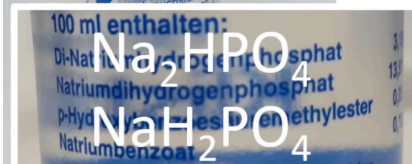
- im **Kolostoma** (und im Enddarm) dürfen beide Klistiere angewendet werden!
- im **Ileostoma (Dünndarm!)** dürfen die Phosphat-haltigen Klistiere nicht angewendet werden



Phosphat-Resorption im Dünndarm

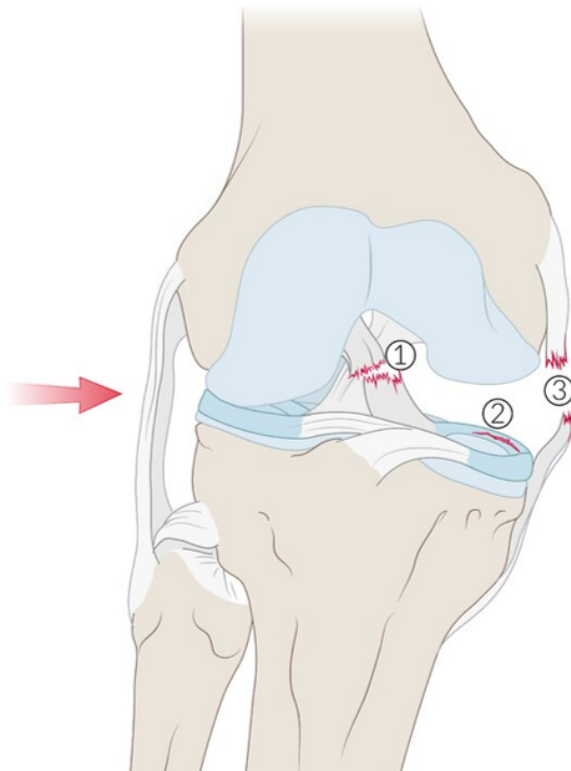


Nierenversagen



Unhappy Triad

- ① Anterior cruciate ligament (ACL)
- ② Medial meniscus
- ③ Medial collateral ligament (MCL)

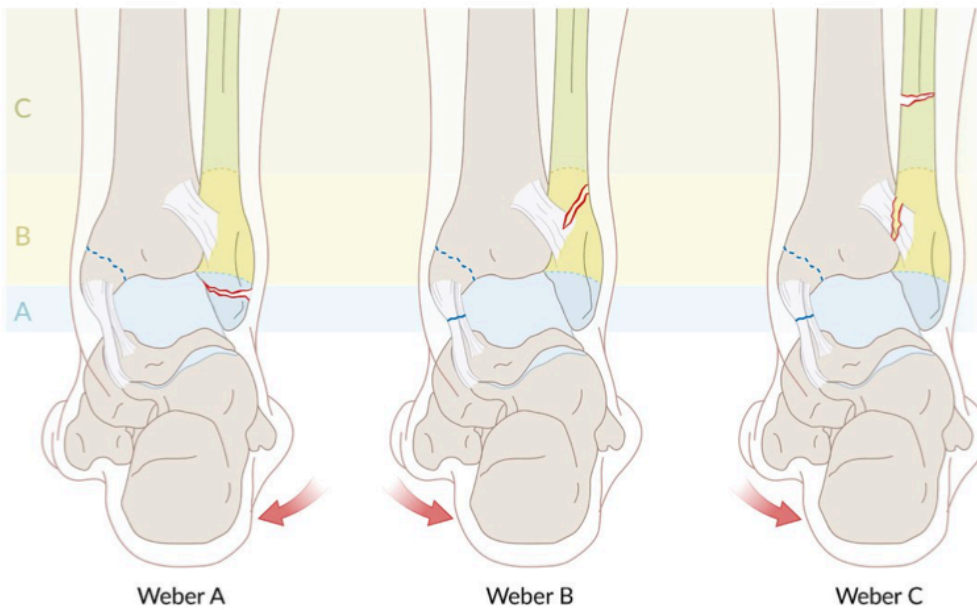


Weberfrakturen

↖ Krafteinwirkung

— Fraktur/Ruptur

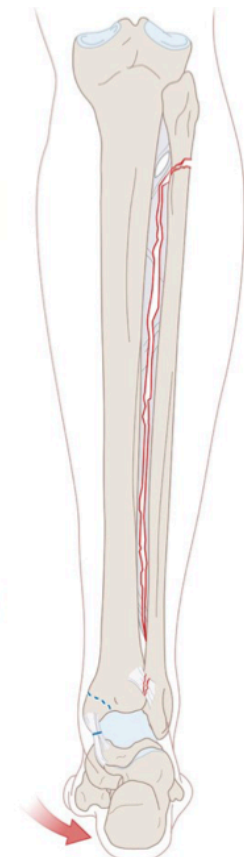
--- Mögliche Lokalisation weiterer Frakturen/Rupturen



Weber A

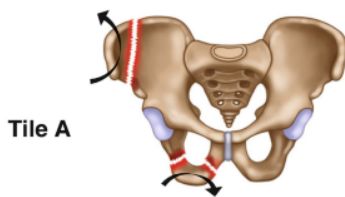
Weber B

Weber C



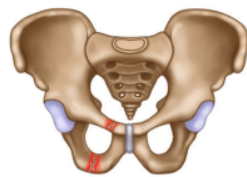
Maisonneuve-Fraktur

Beckenringfraktur

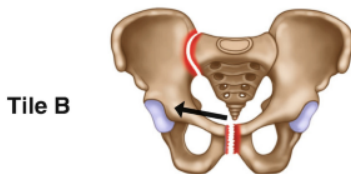


Tile A

A1 Beckenfrakturen ohne Beteiligung des Beckenrings

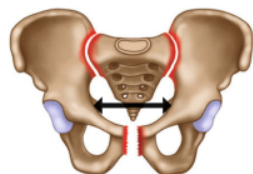


A2 Stabile, minimal dislozierte Frakturen des Beckenrings

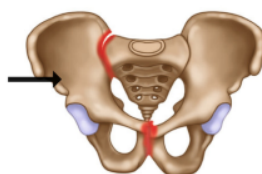


Tile B

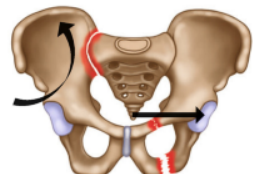
B1 „Open book“-Verletzung (einseitig)



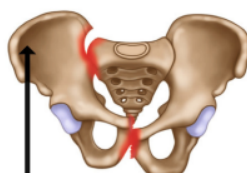
B1 „Open book“-Verletzung (beidseits)



B2 Laterale Kompressionsverletzung („lateral compression“)

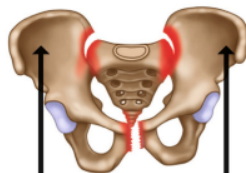


B3 Laterale Scher-Kompressions-Verletzung („bucket handle“) mit Ap-Kompression => „wind-swept pelvis“ (B3.2)

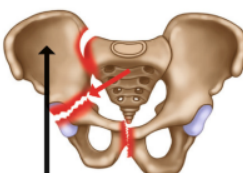


Tile C

C1 Rotations- und vertikal instabile Verletzungen

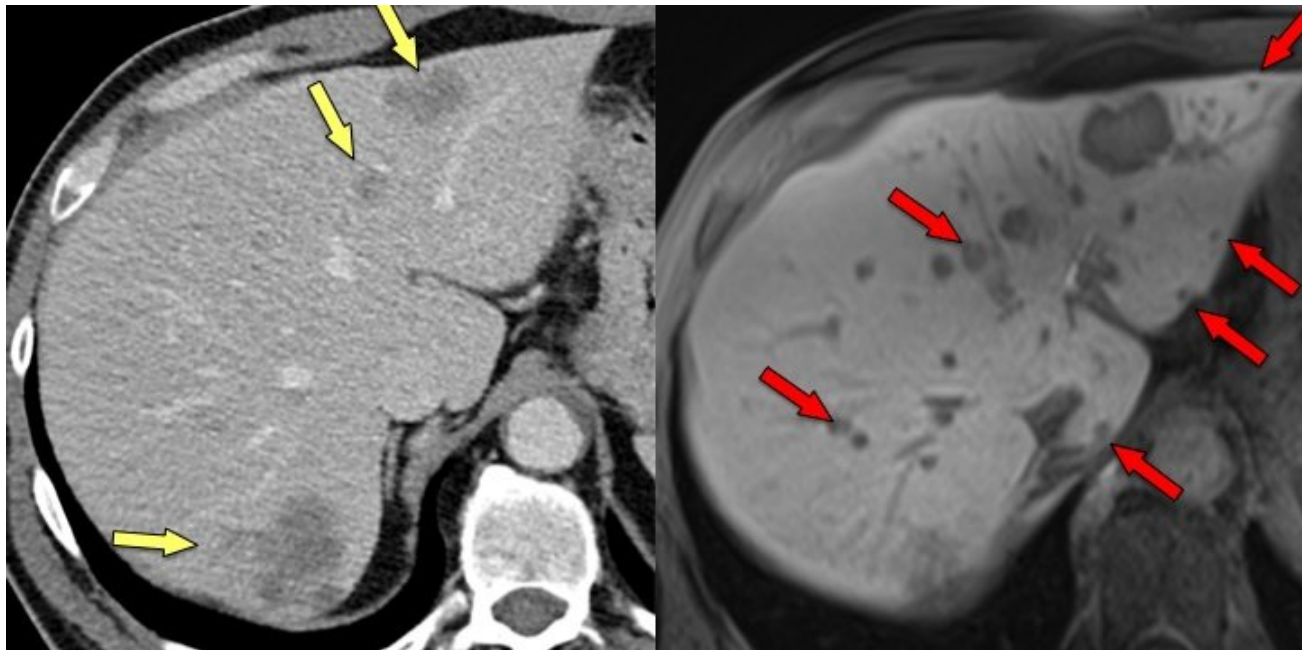


C2 Beidseitige Verletzungen

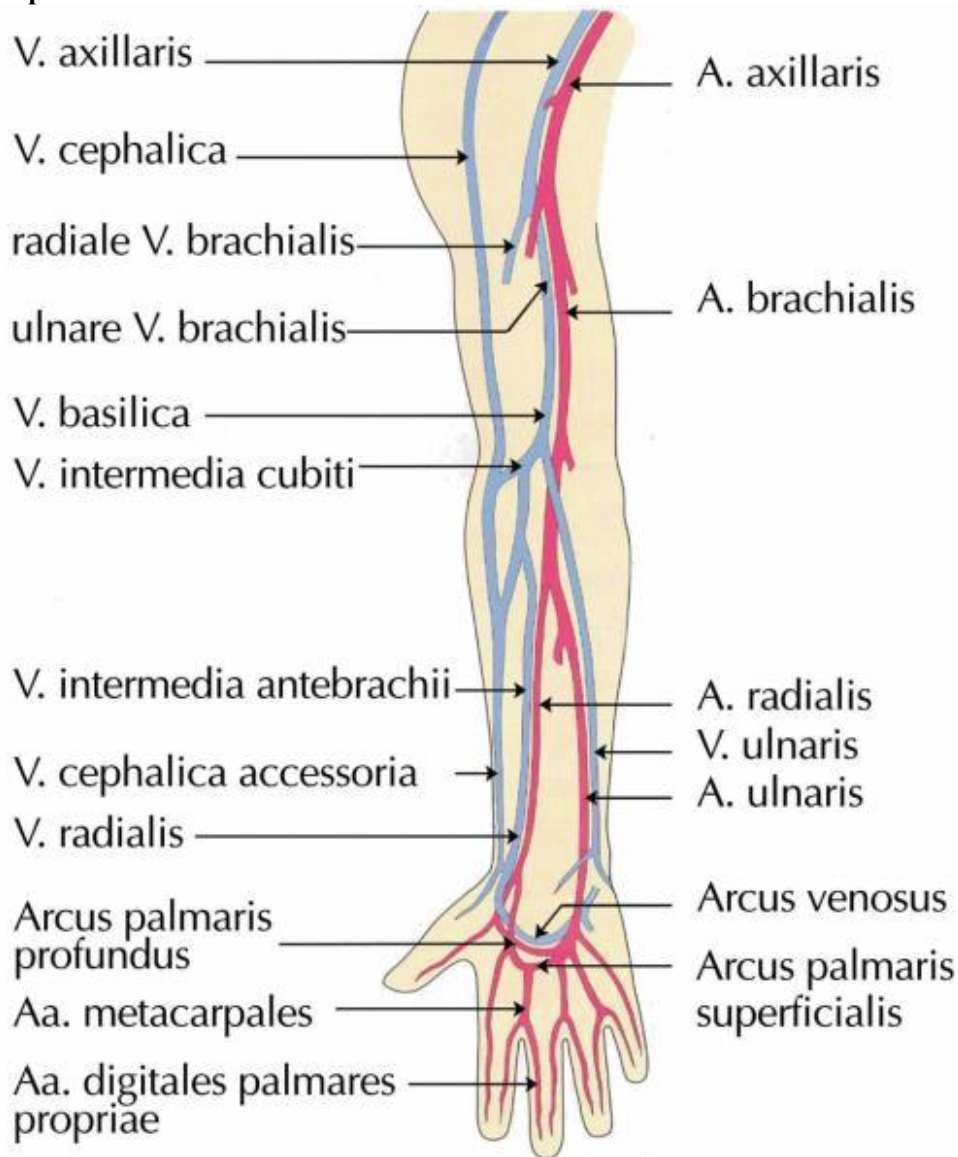


C3 Verletzungen mit begleitender Azetabulumfraktur

Leberherde CT vs. MRT

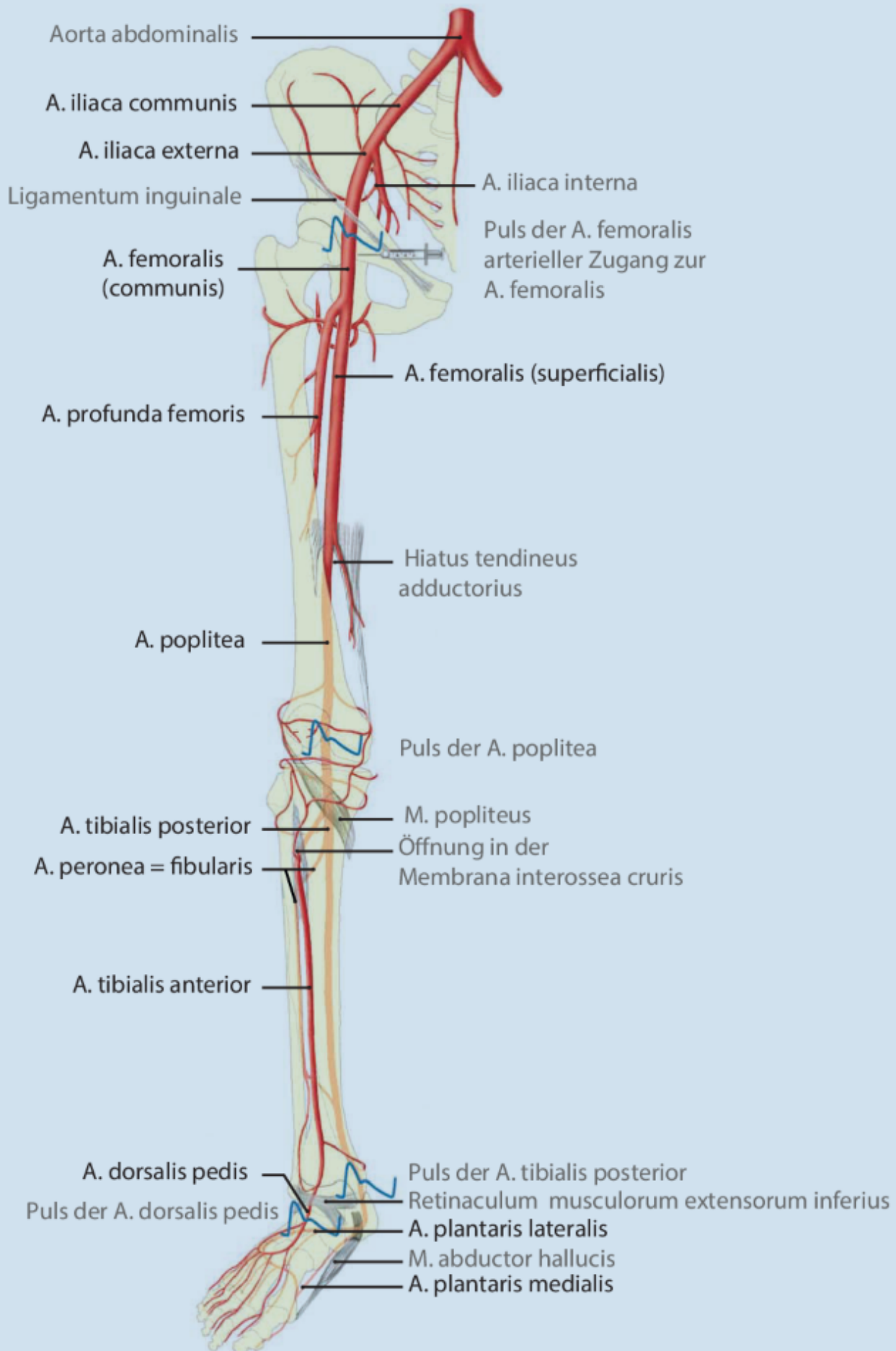


Periphere Arterien an den Armen und Beinen

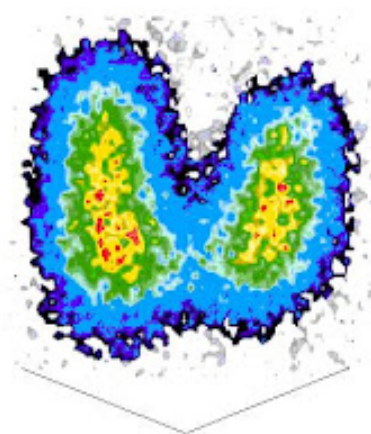


Katzenschlager R Duplexsonographie der Gefäße 2005 ©

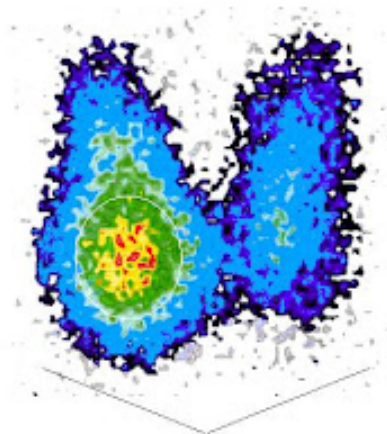
Periphere Arterien an den Armen und Beinen



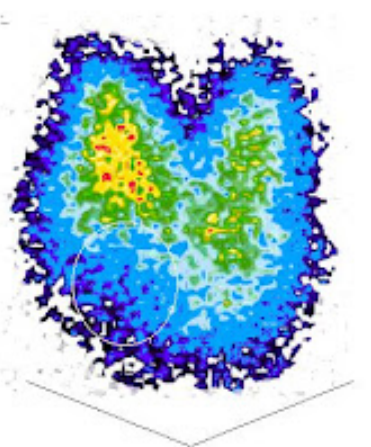
Schilddrüsen-Szintigraphie



Normalbefund



Warmer Knoten rechts unten



Kalter Knoten rechts unten



Heißer Knoten rechts unten

Schilddrüsenszintigraphie

Schilddrüse mit heißem Knoten



Szintigraphie

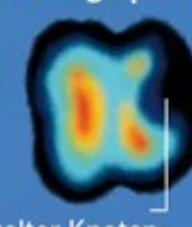


Die Szintigraphie zeigt die Schilddrüse nur undeutlich. Ein heißer Knoten erscheint im Bild orangegelb bis rötlich.

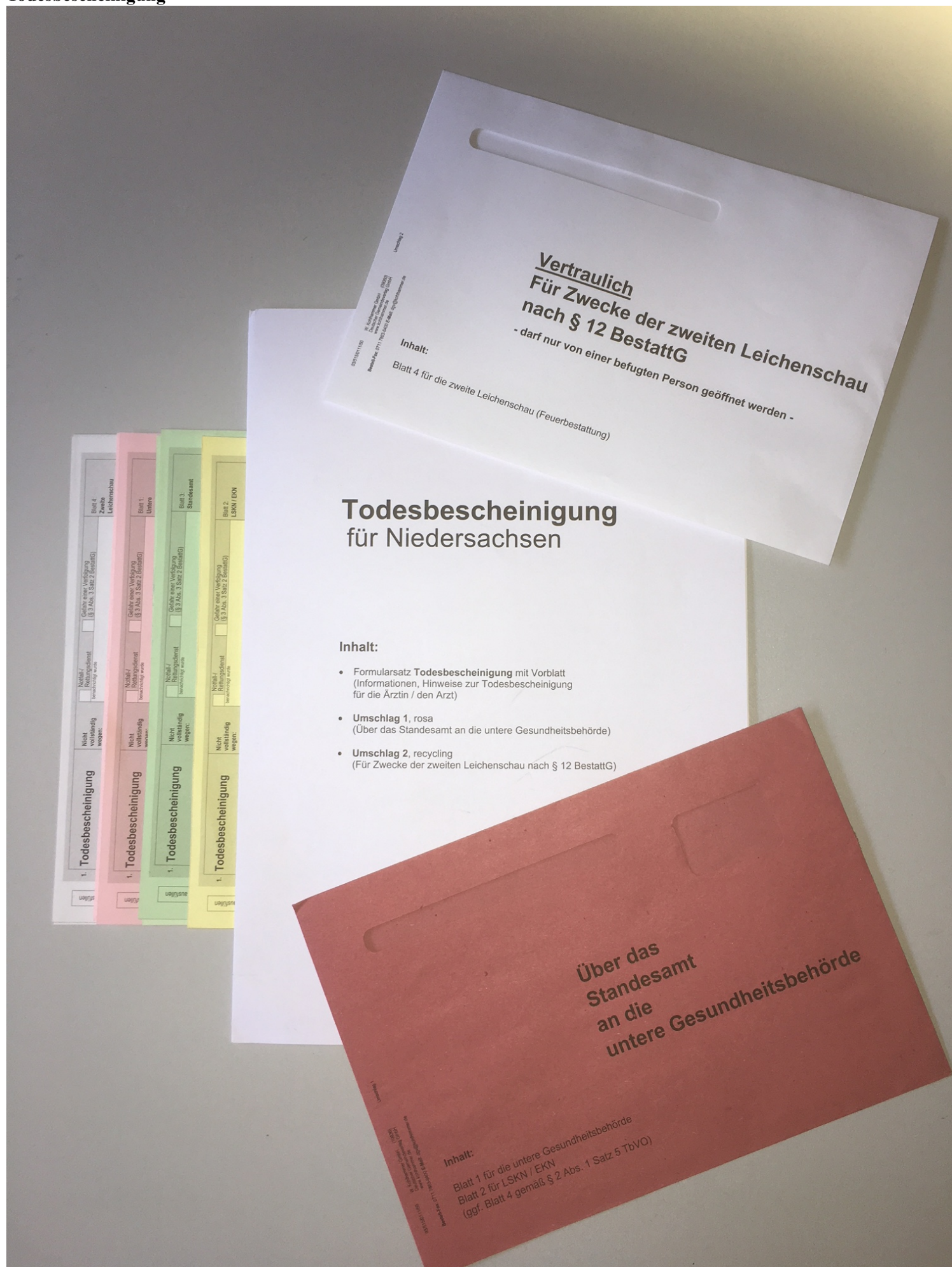
Schilddrüse mit kaltem Knoten



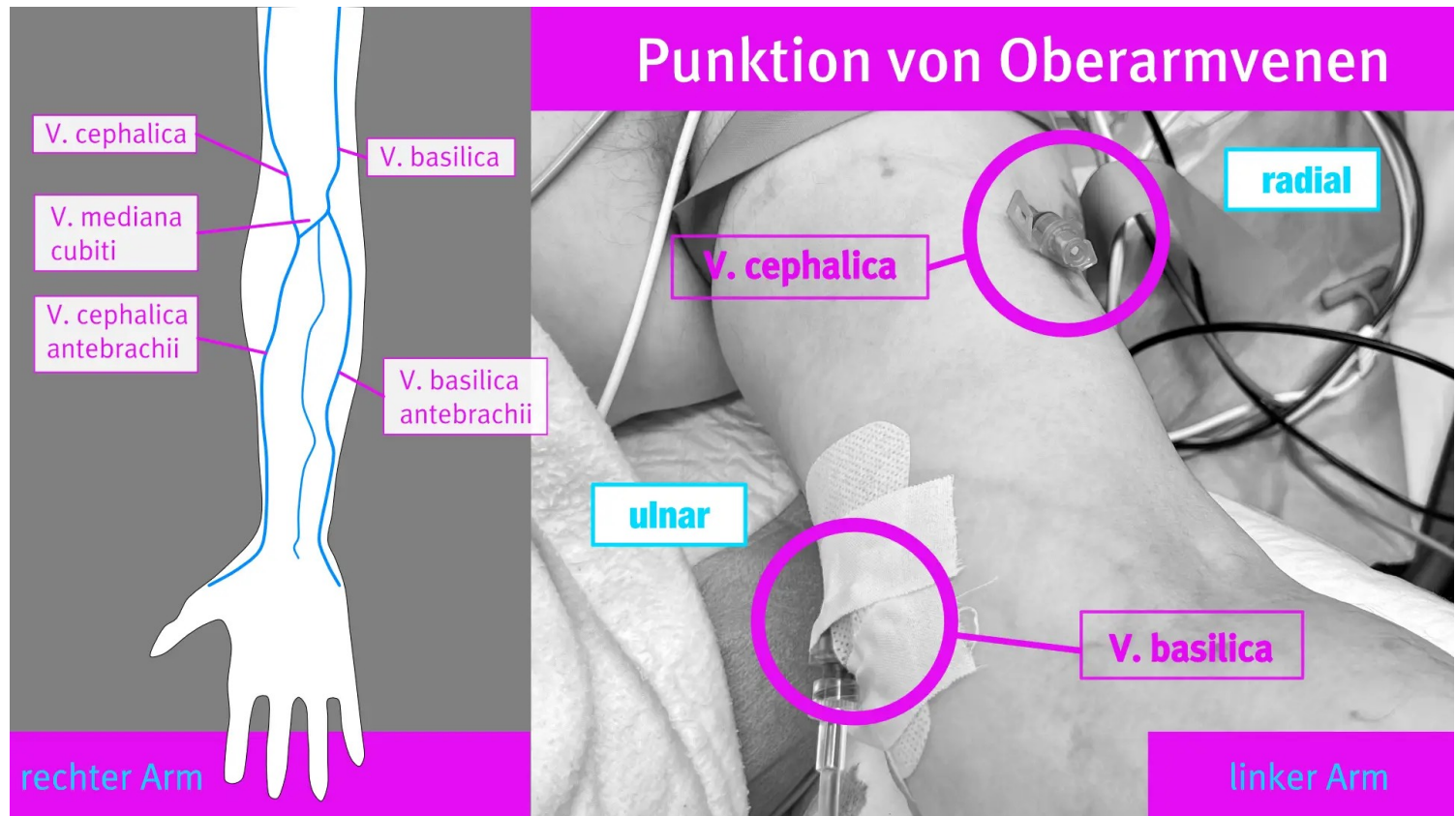
Szintigraphie



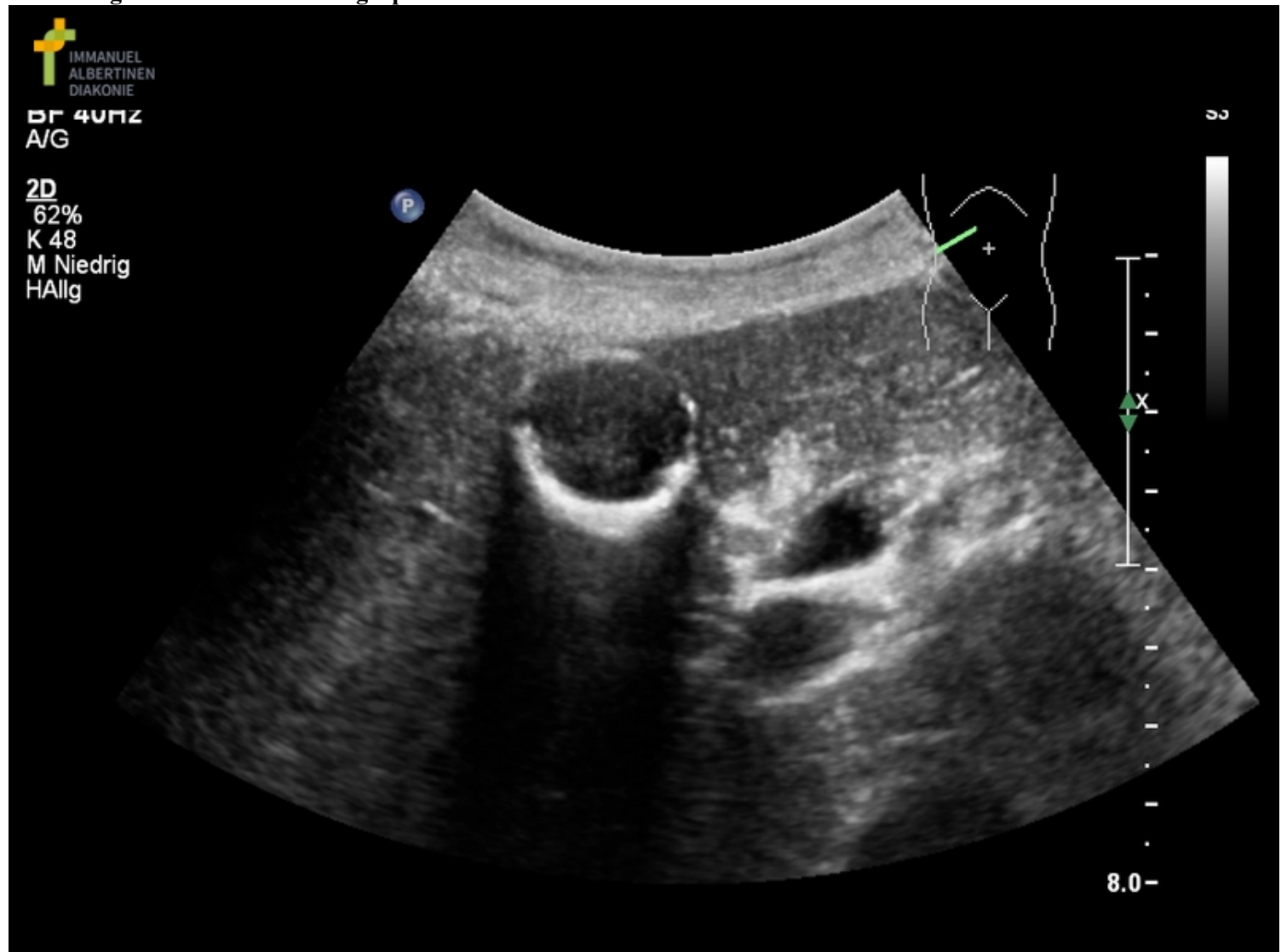
Kalte Knoten werden in der speziellen Untersuchung dunkelblau oder wie ein Loch in der Schilddrüse sichtbar.



Punktion von Oberarmvenen



Porzellangallenblase in der Sonographie



Porzellangallenblase in einem Röntgenbild



Kniegelenk Anatomie

